

# Abschlussvortrag

Effiziente Extraktion von Kuratowski-Teilgraphen

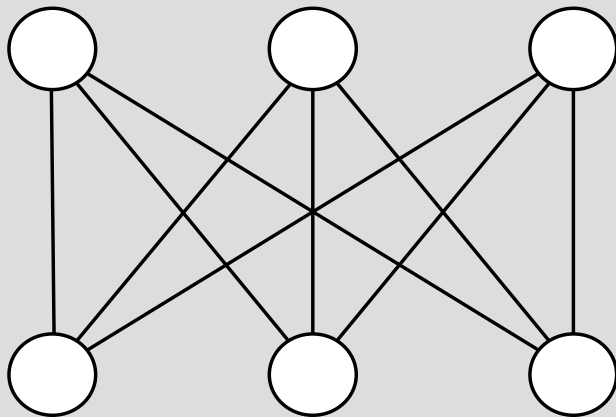
Jens Schmidt

# Übersicht

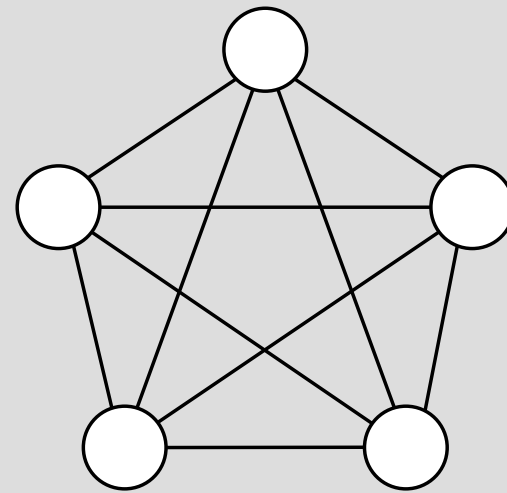
- 1. Einleitung**
2. Der Boyer-Myrvold Planaritätstest
3. Erweiterungen
4. Experimentelle Ergebnisse

# Planarität

- **Definition:**  
Ein Graph  $G=(V,E)$  ist genau dann planar, wenn er sich überkreuzungsfrei in die Ebene einbetten lässt.
- **Nicht planare Graphen:**



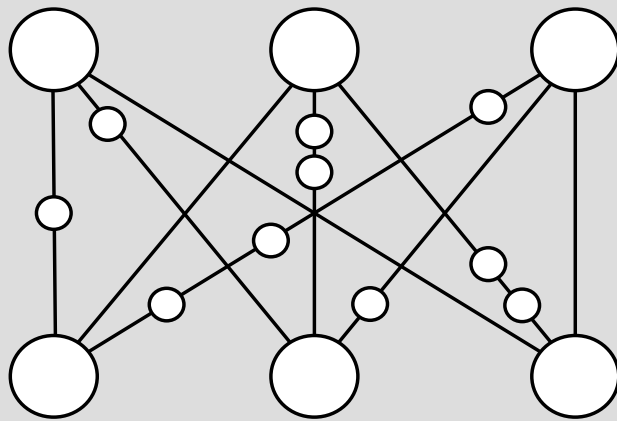
$K_{3,3}$



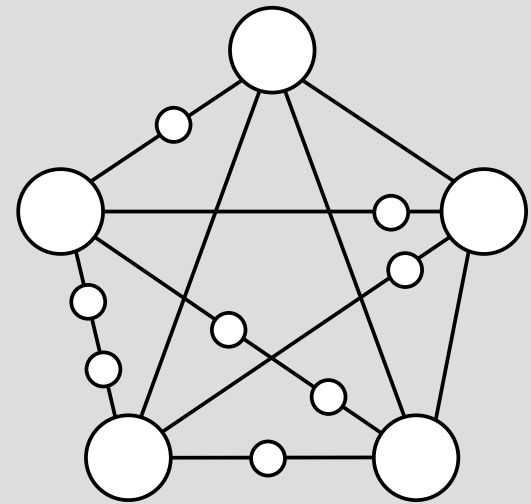
$K_5$

(Beweis: Eulerscher Polyedersatz)

# Kuratowski-Subdivisions



$K_{3,3}$ -Subdivision



$K_5$ -Subdivision

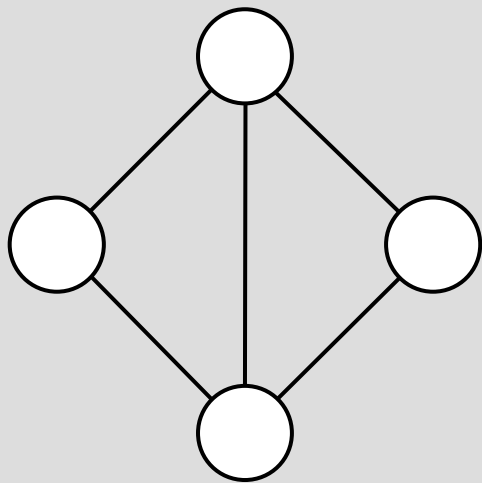
## Satz von Kuratowski (1930):

Ein Graph ist genau dann planar, wenn er weder eine  $K_{3,3}$ - noch  $K_5$ -Subdivision enthält.

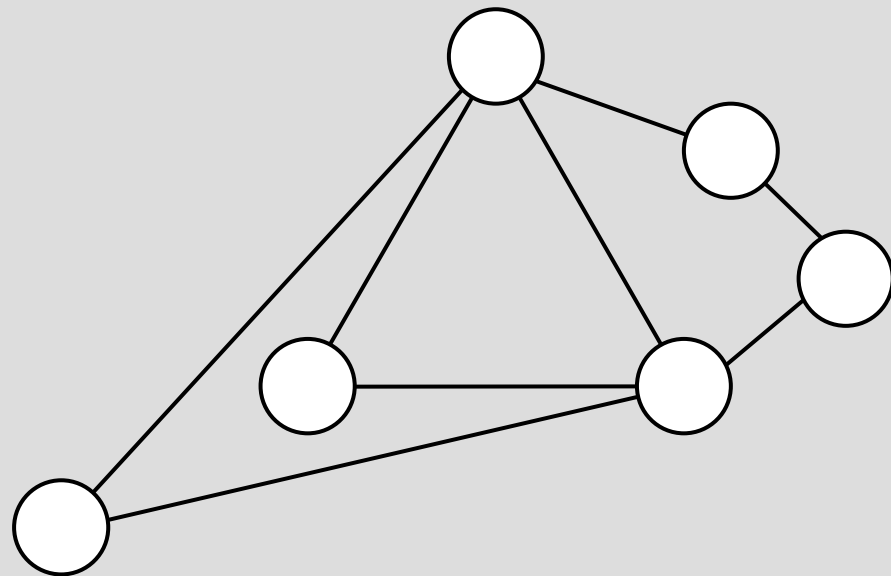
# Minoren

## Ähnlich: Minoren

- $G, H$  sind Graphen
- $G'$  entsteht durch eine Folge von Kantenkontraktionen aus  $G$
- $H$  ist Minor von  $G$ , falls  $H$  Subgraph von  $G'$  ist.



H



G

# Übersicht

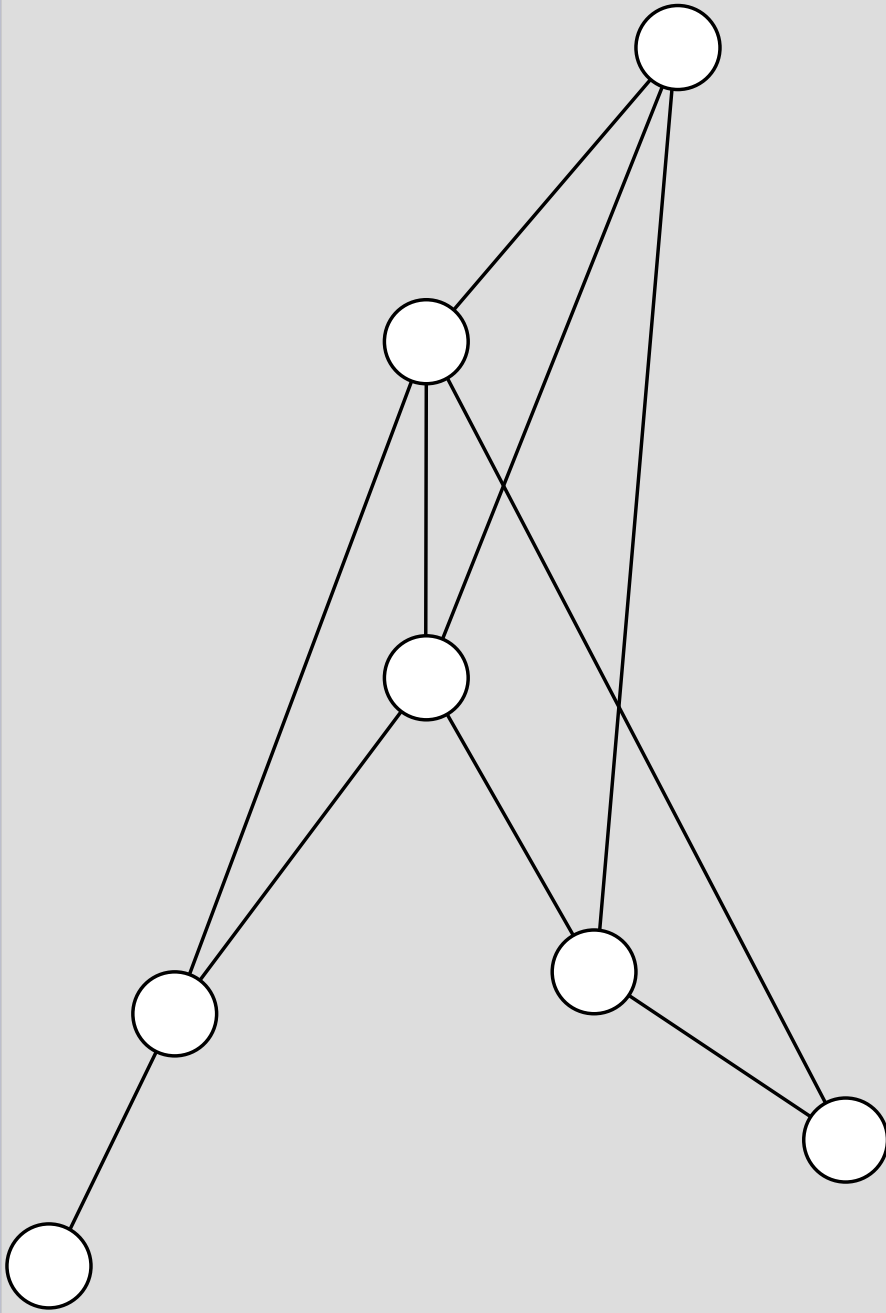
1. Einleitung
- 2. Der Boyer-Myrvold Planaritätstest**
3. Erweiterungen
4. Experimentelle Ergebnisse

# Boyer-Myrvold Planaritätstest

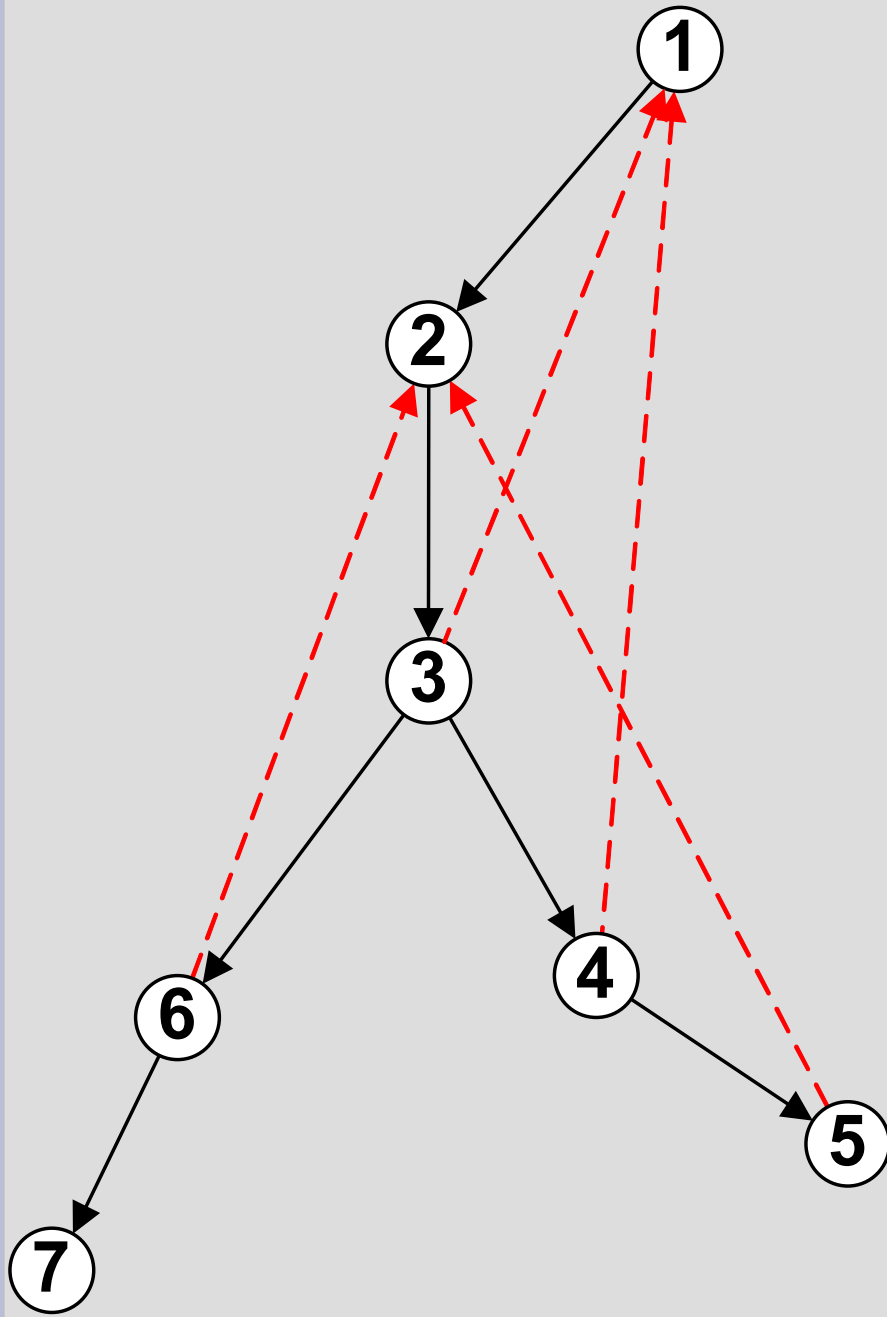
- Basiert auf  
„On the Cutting Edge: Simplified  $O(n)$  planarity by edge addition“  
(2004)
- Vorteile:
  - Liefert planare Einbettung oder Kuratowski-Subdivison
  - Linear in  $O(n)$ , sehr kleiner konstanter Faktor
  - Eingabegraph muss nicht zusammenhängend sein
- Nachteile:
  - Trotz aller Bemühungen noch immer komplex

# Ein Beispiel

Der Eingabegraph

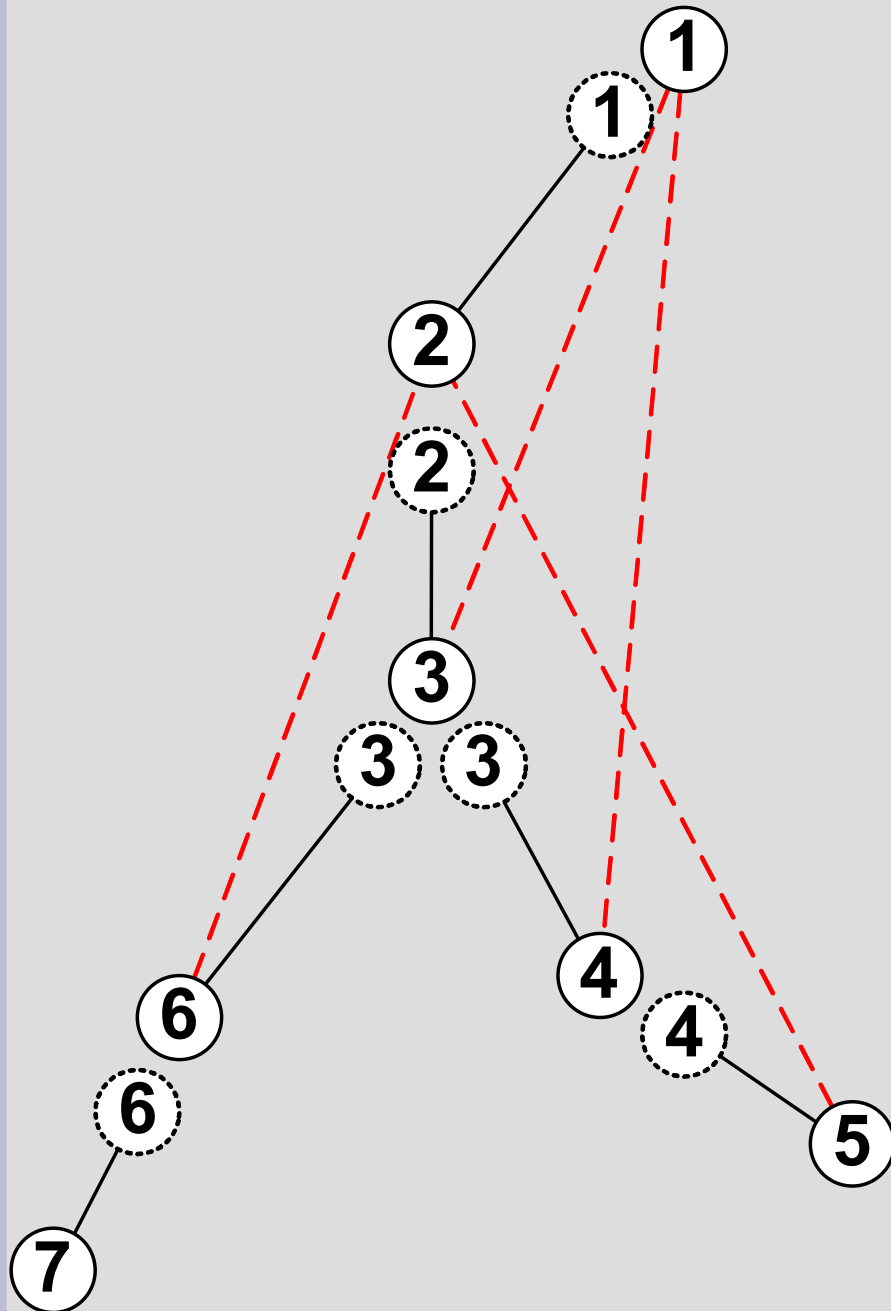


# DFS-Baum



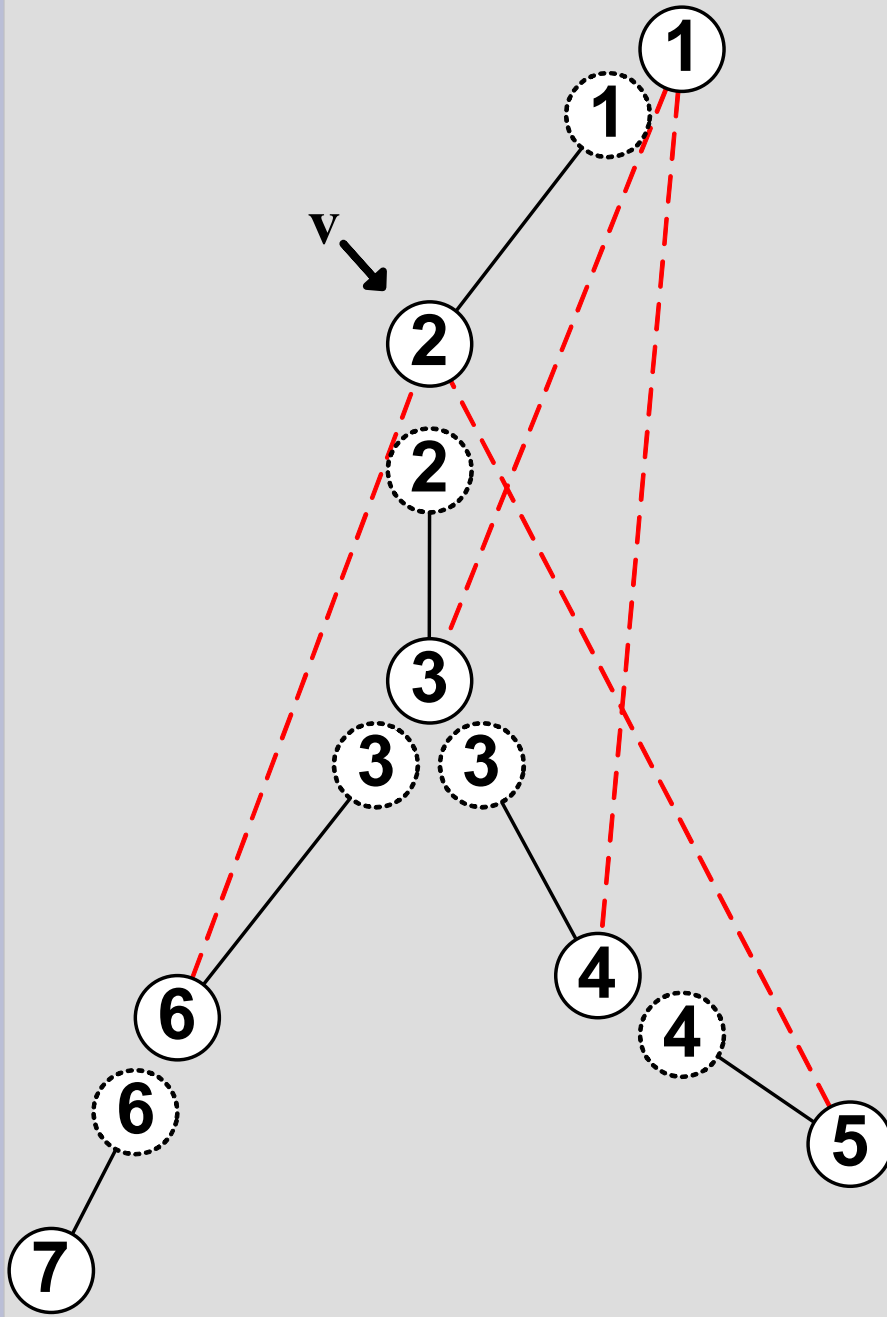
- Grundlage DFS-Baum (allg. Wald)
  - DFS-Kanten
  - - - Noch nicht eingebettete Backedges
- Multikanten und Selfloops werden entfernt
- Ersetze gerichtete Kanten durch ungerichtete

# Virtuelle Knoten



- Für jede DFS-Kante wird **virtueller Knoten** eingefügt:
- Baum von Bicomps
  - **Backedges** werden dabei ignoriert

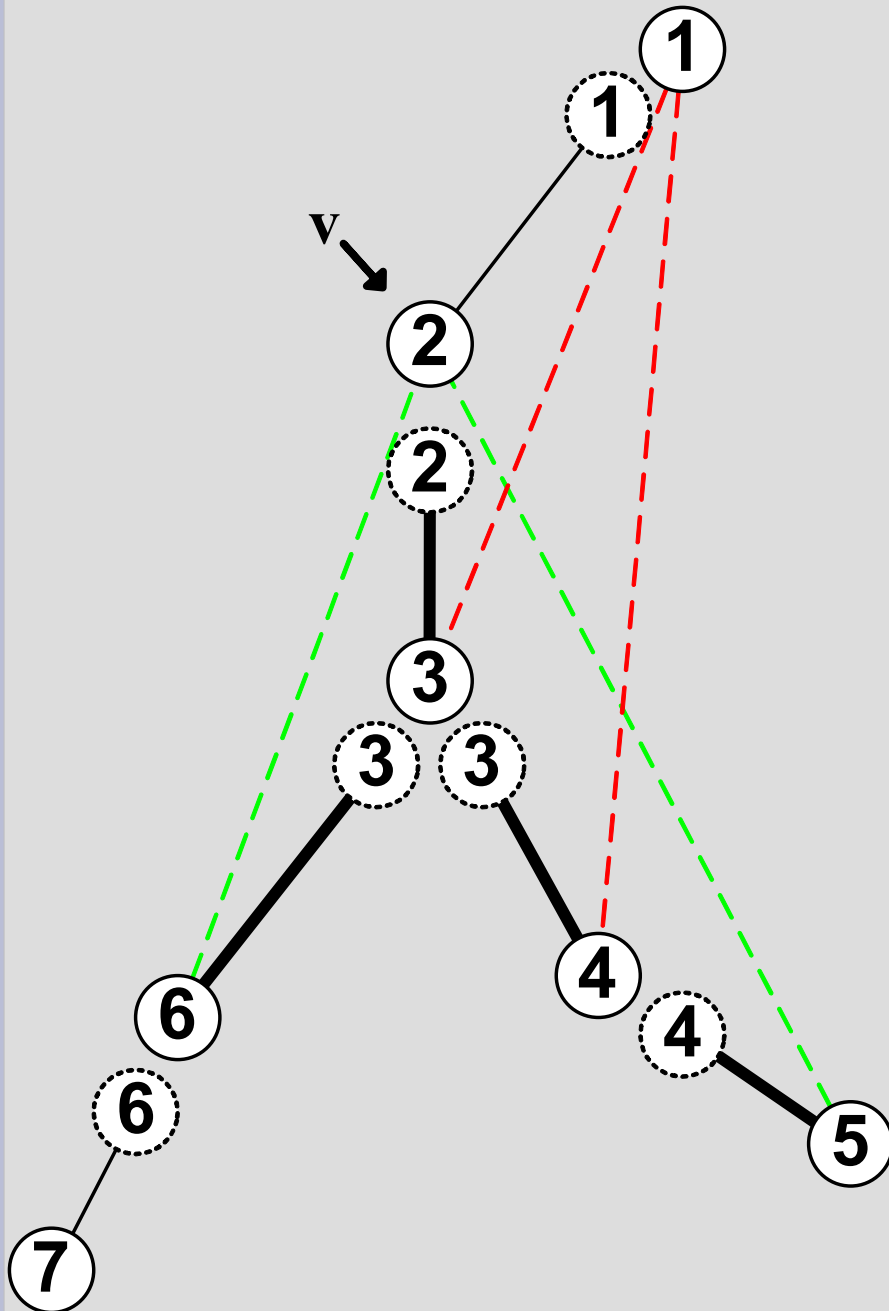
# Äußere Schleife



Iteration über alle Knoten  $v$  in absteigender DFS-Reihenfolge:

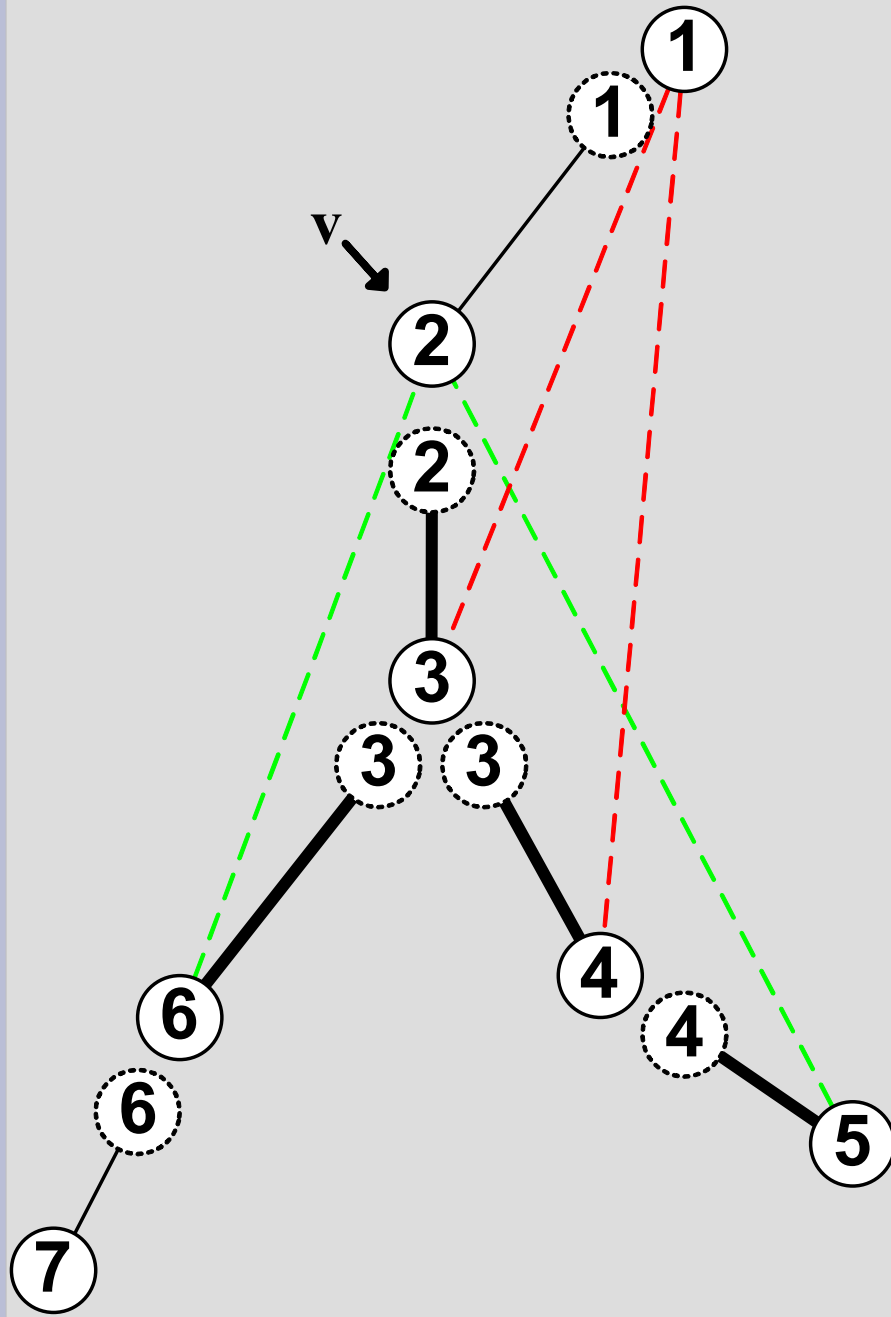
- Falls  $v$  Endpunkt einer **Backedge**:  
Bette diese ein
- Knoten 6,5,4,3: Keine Endpunkte von Backedges

# Walkup



- Knoten 2:  
Starte „Walkup“ für jede **Backedge**,  
um den involvierten Teilgraphen für  
die Einbettung abzugrenzen
- Traversiere dazu die **Backedges**  
und dann alle Vaterbicomps bis  
zum Knoten 2 zurück

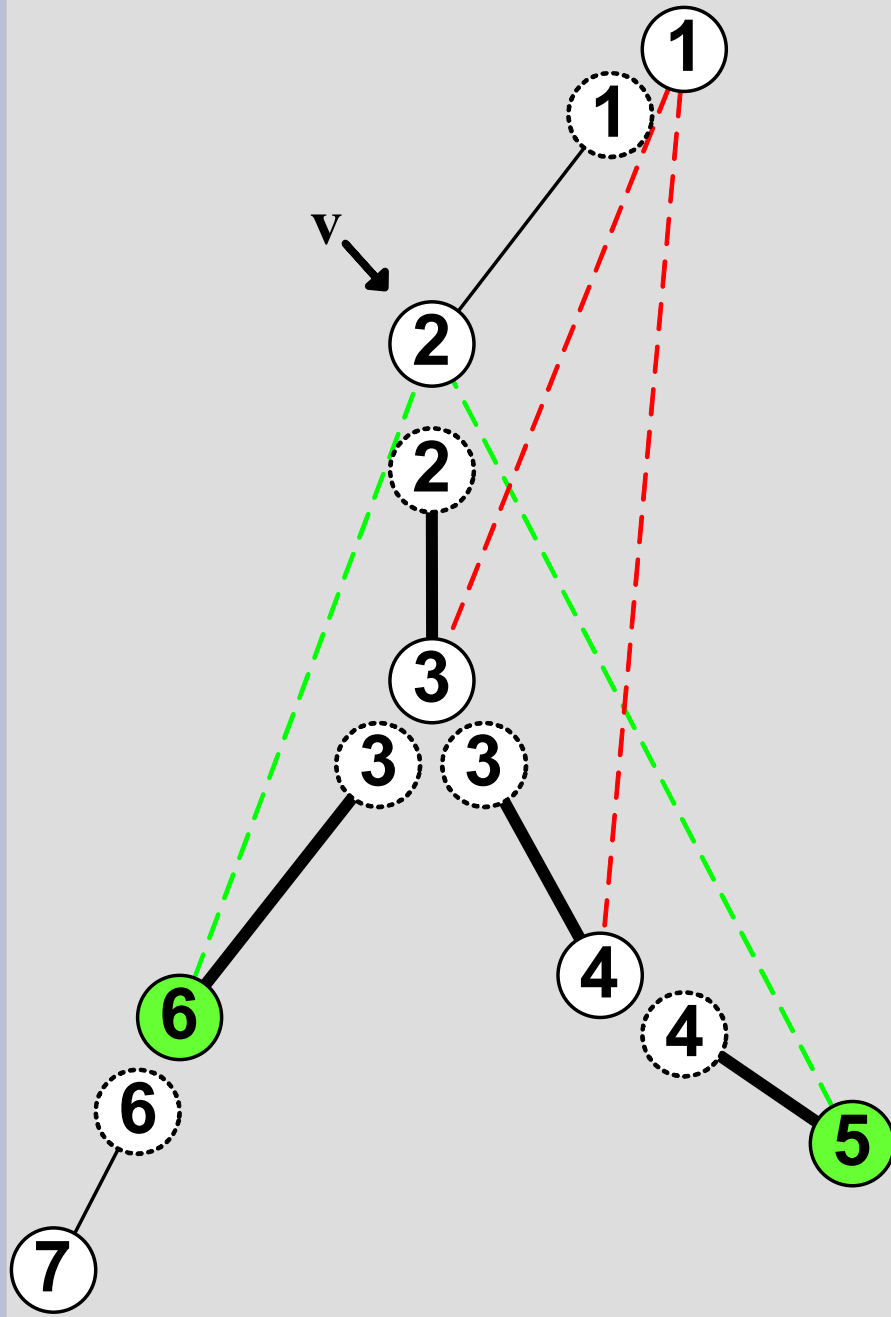
# pertinent vs. extern



Ein Knoten  $w$  ist

- **pertinent**, wenn er oder ein Knoten aus einer anliegenden Kinderbicomps mit  $v$  verbunden ist.

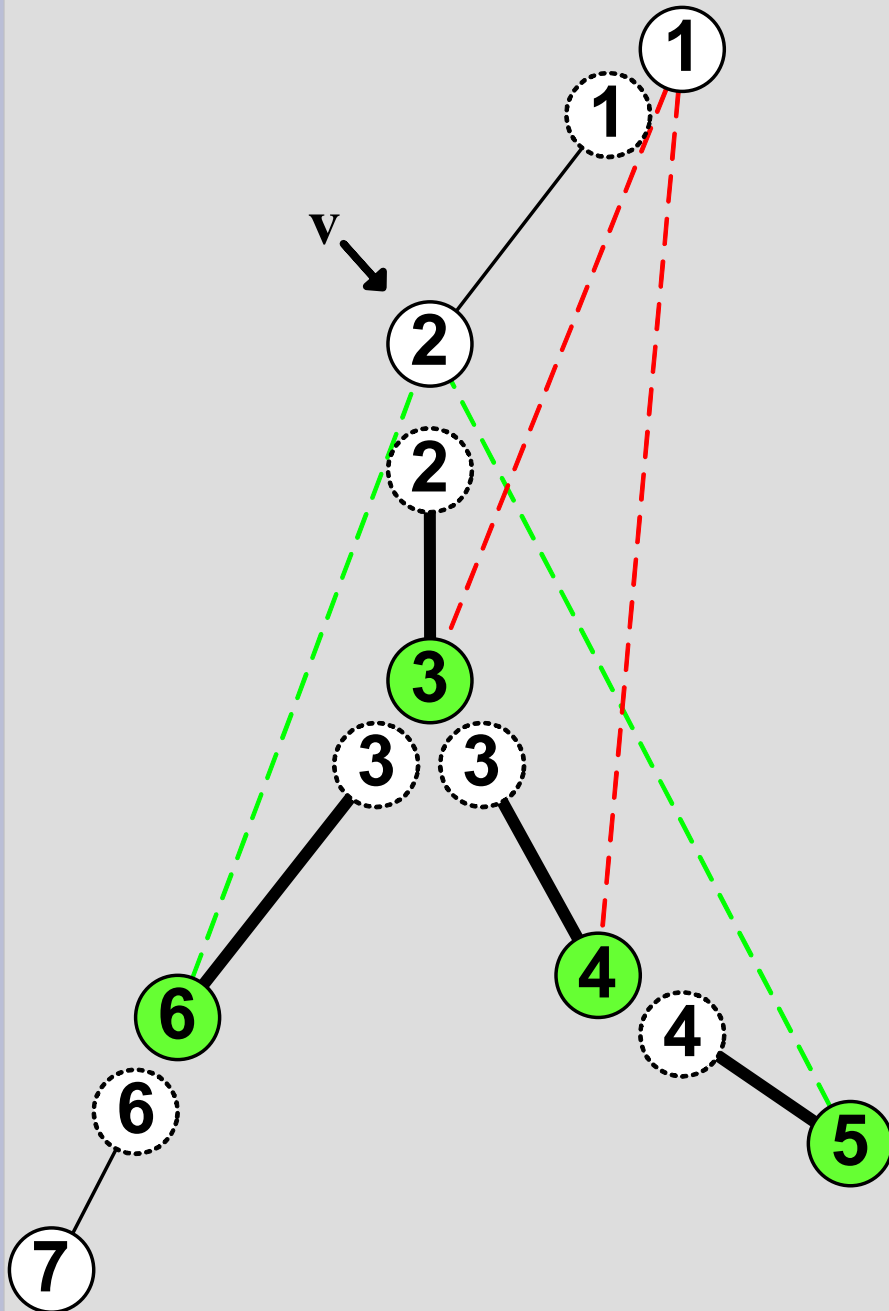
# pertinent vs. extern



Ein Knoten  $w$  ist

- **pertinent**, wenn er oder ein Knoten aus einer anliegenden Kinderbicompo mit  $v$  verbunden ist.

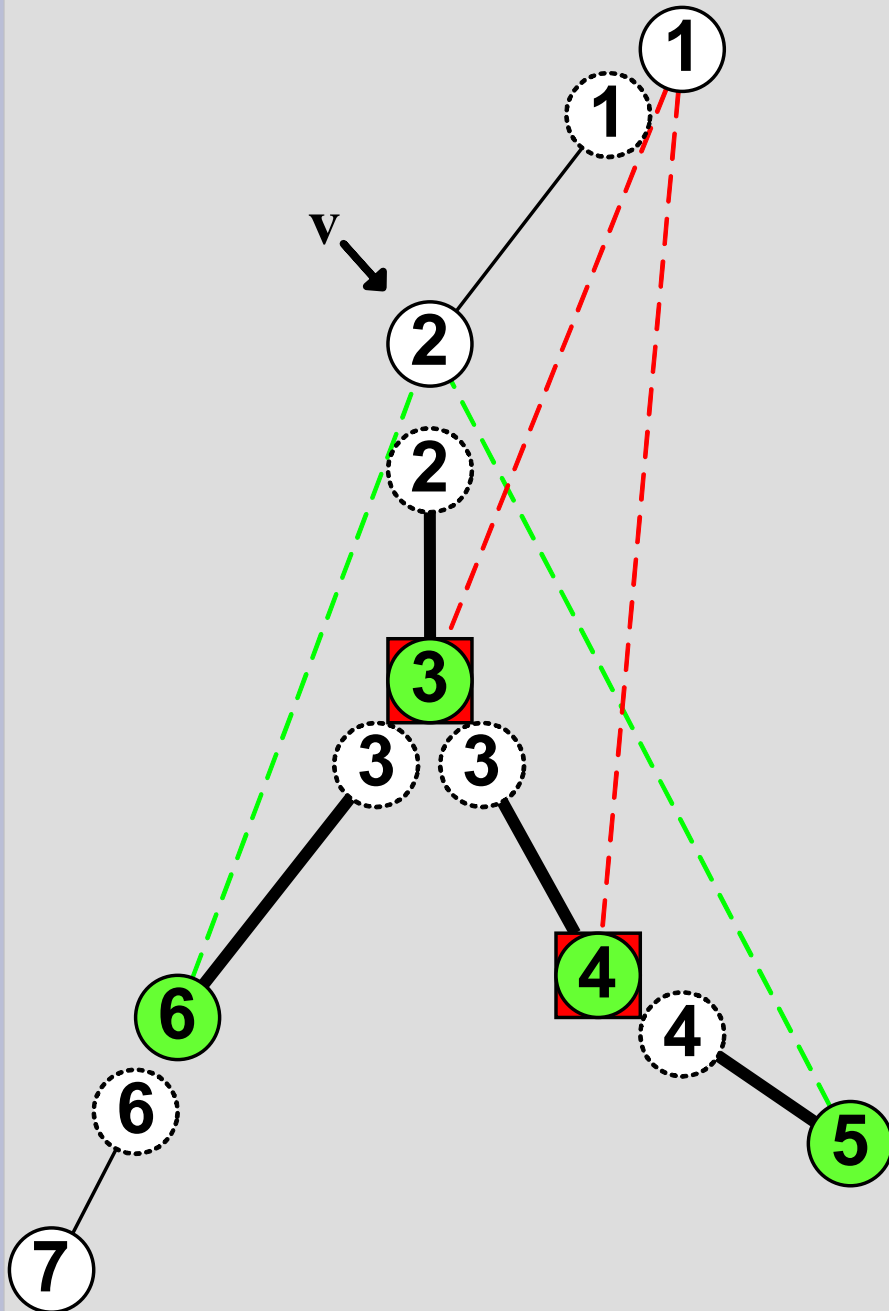
# pertinent vs. extern



Ein Knoten  $w$  ist

- **pertinent**, wenn er oder ein Knoten aus einer anliegenden Kinderbicomps mit  $v$  verbunden ist.
- **extern**, wenn er oder ein Knoten aus einer anliegenden Kinderbicomps mit einem Knoten mit  $DFI < v$  verbunden ist.

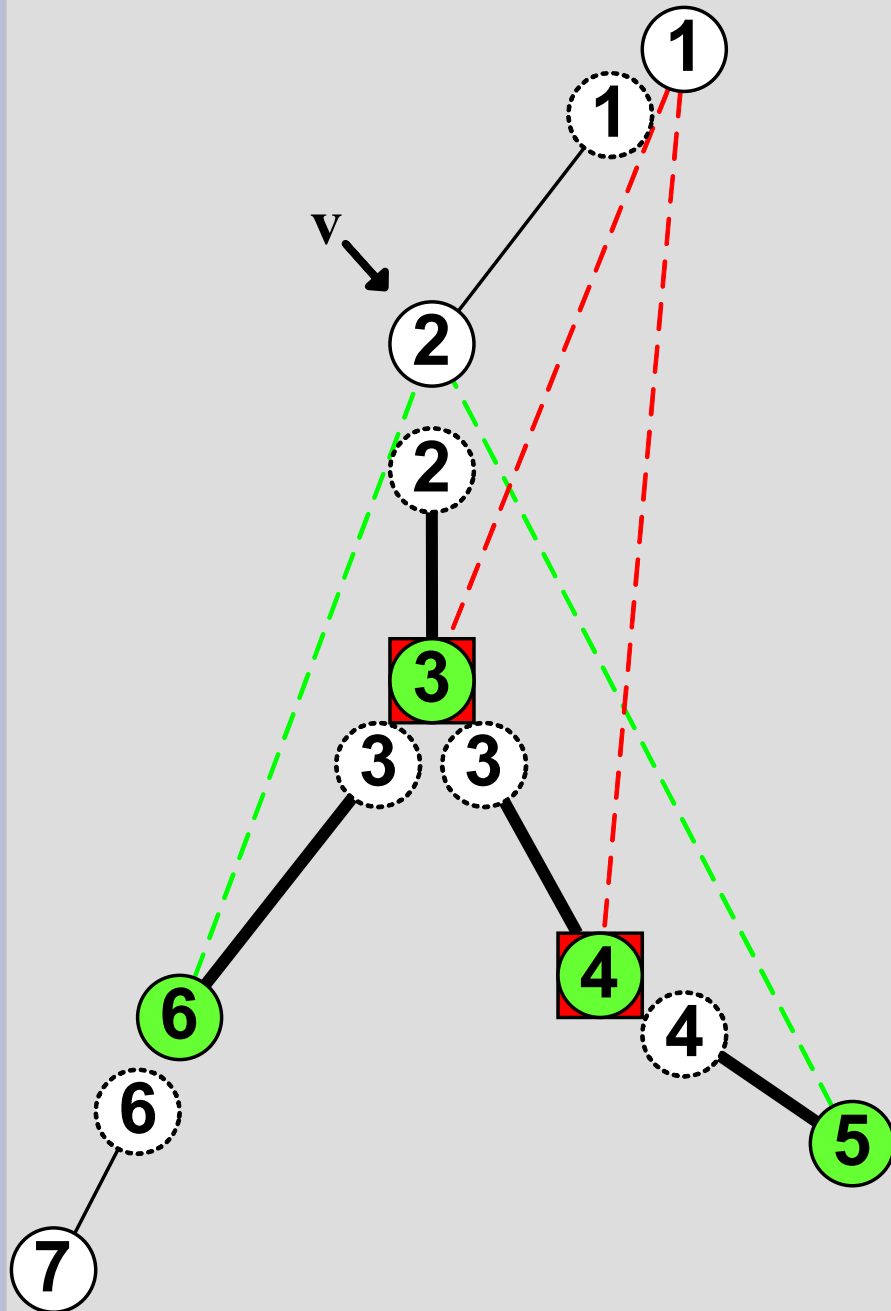
# pertinent vs. extern



Ein Knoten  $w$  ist

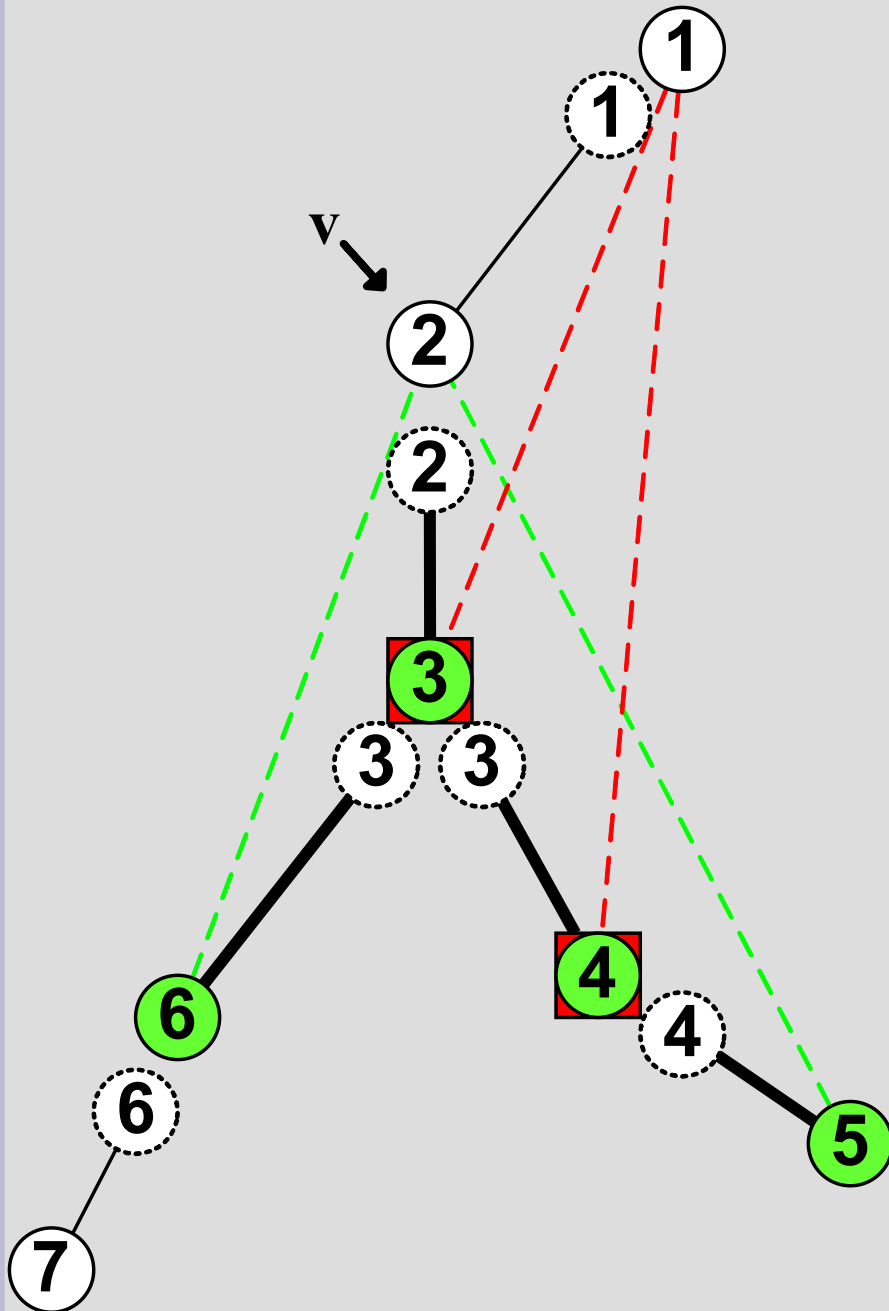
- **pertinent**, wenn er oder ein Knoten aus einer anliegenden Kinderbicomps mit  $v$  verbunden ist.
- **extern**, wenn er oder ein Knoten aus einer anliegenden Kinderbicomps mit einem Knoten mit  $DFI < v$  verbunden ist.
- Eine Bicomps heißt **pertinent** bzw. **extern**, wenn sie mindestens einen **pertinenten** bzw. **externen** Knoten enthält.
- Klassifikation eines Knotens in  $O(1)$  mit dynamischen Datenstrukturen

# Walkdown



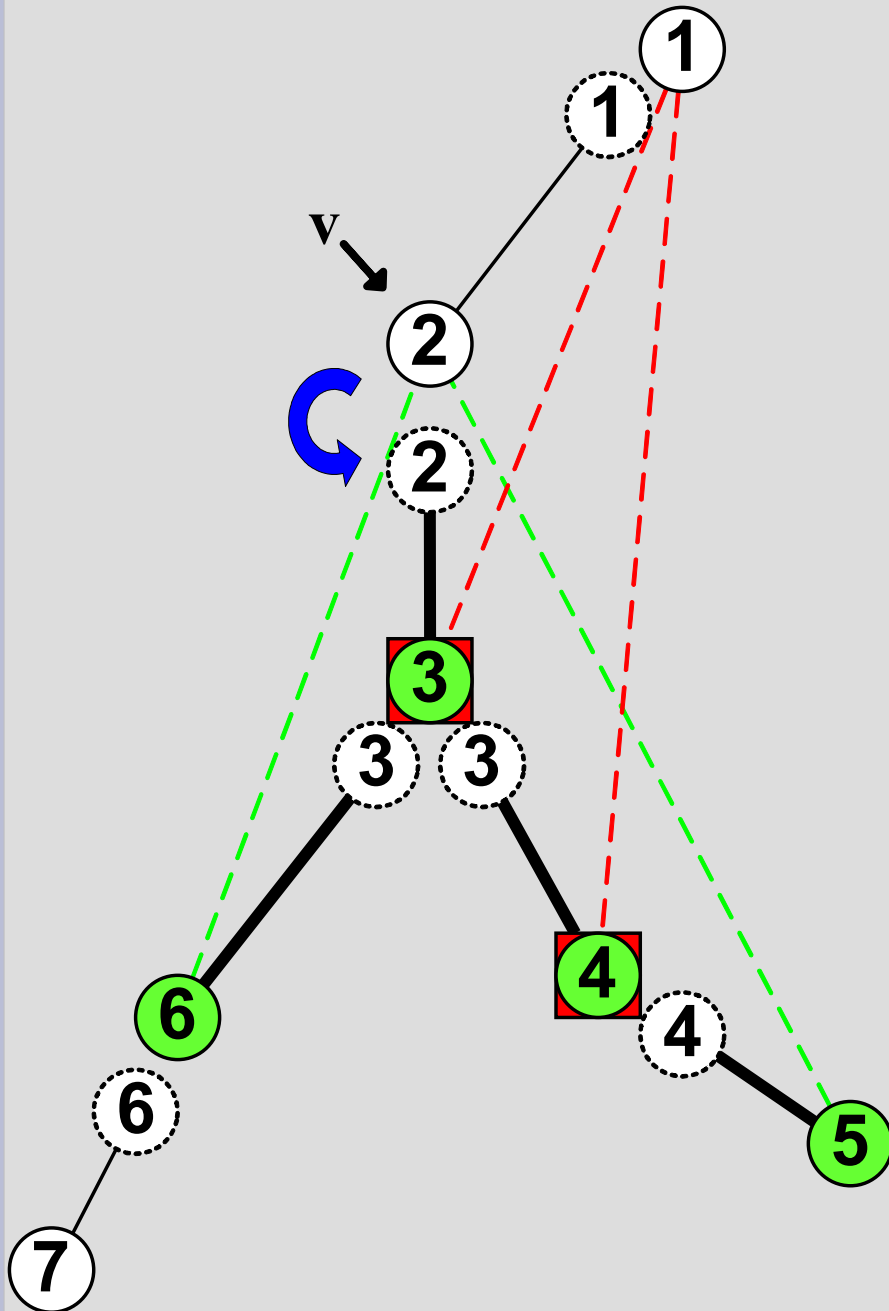
- Zwei **Walkdowns** für jede Kinderbicompe von  $v$ : **CCW** und **CW**
- Jede Bicompe wird auf ihrer **external Face** in aktueller Richtung traversiert

# Walkdown



- Zwei **Walkdowns** für jede Kinderbicomponente von  $v$ : **CCW** und **CW**
- Jede Bicomponente wird auf ihrer **external Face** in aktueller Richtung traversiert
- Regel für jeden erreichten Knoten  $w$ :
  - Bette alle **Backedges** zu  $v$  ein
  - Steige zu Bicomponente-Kind ab (wenn vorhanden zu nicht-**externem**)
  - Stoppe, falls  $w$  **extern** und nicht **pertinent** ist.
  - Traversiere weiter bis  $w=v$ .
- Steige ab zu  $2$ , traversiere zu  $3$ . Wähle linke  $3$ , (nicht rechte, da extern), traversiere zu  $6$ .
- **Backedge** gefunden.

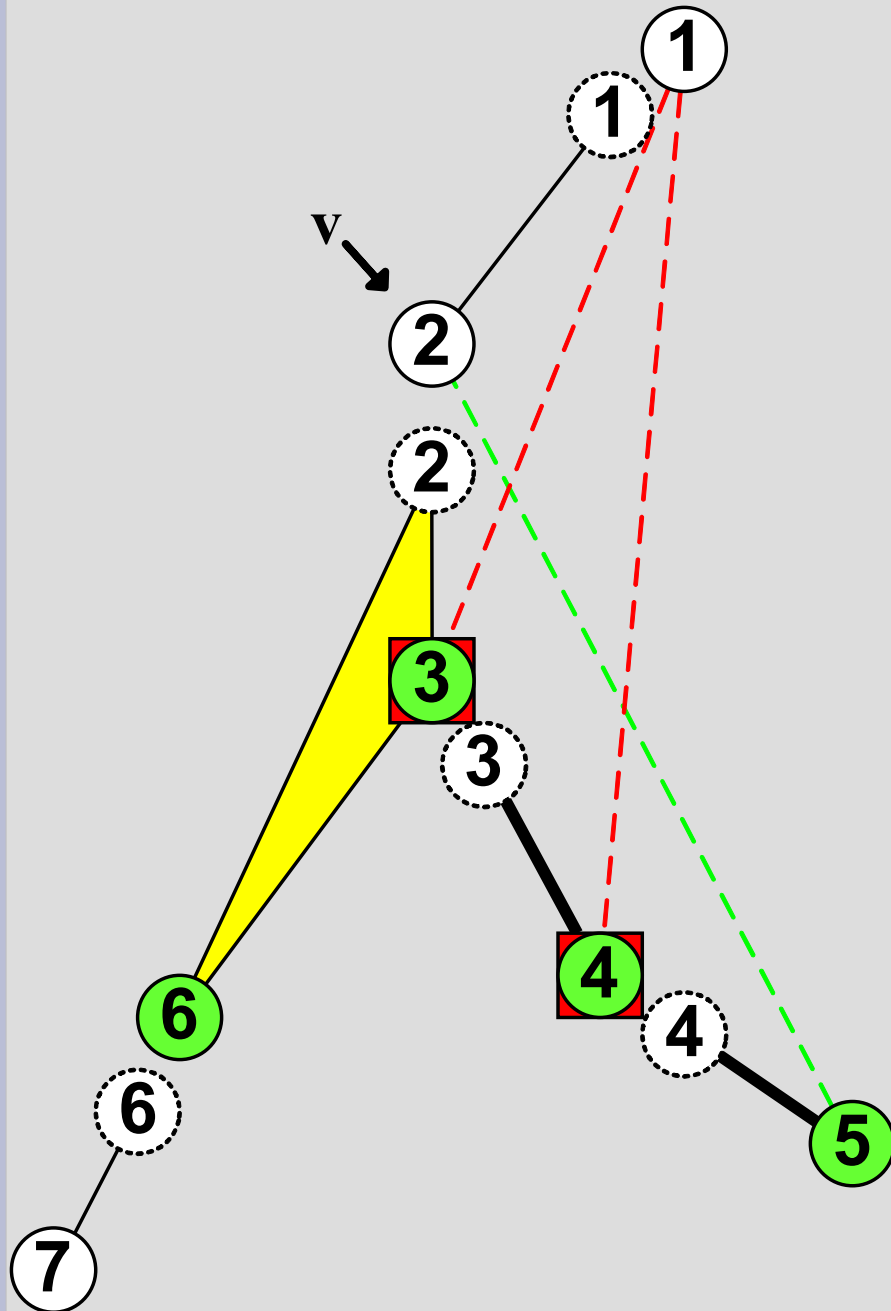
# Walkdown: Einbettungen



Die **Backedge** wird jetzt eingebettet:

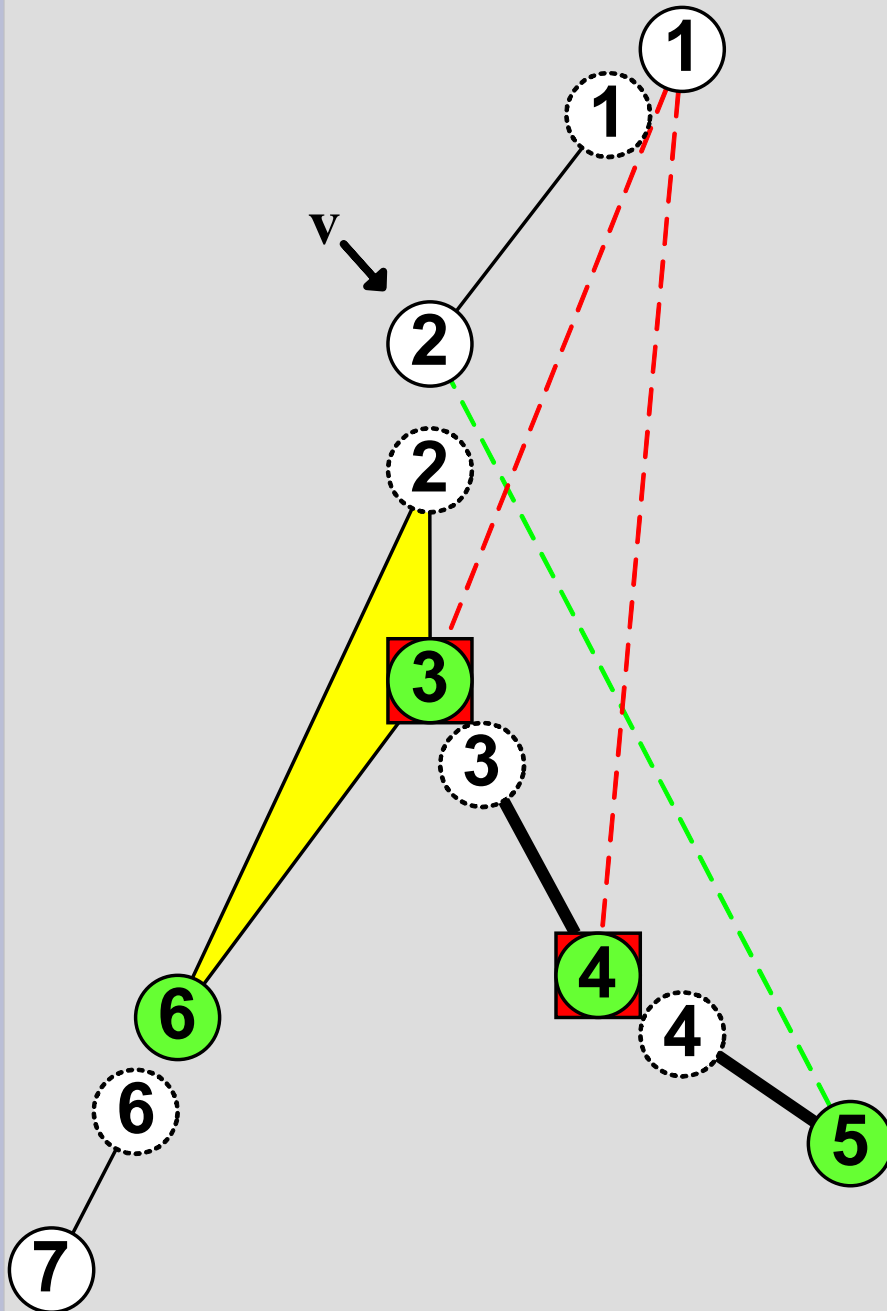
- Traversierungsrichtung ist momentan **CCW**, die **Backedge** wird immer auf derselben Seite eingebettet:
  - Im Knoten **6** wird sie also gegen den Uhrzeigersinn eingebettet.
  - Im Knoten **2** umgekehrt.
- Alle traversierten Bicomps werden nun verschmolzen

# Walkdown: Einbettungen



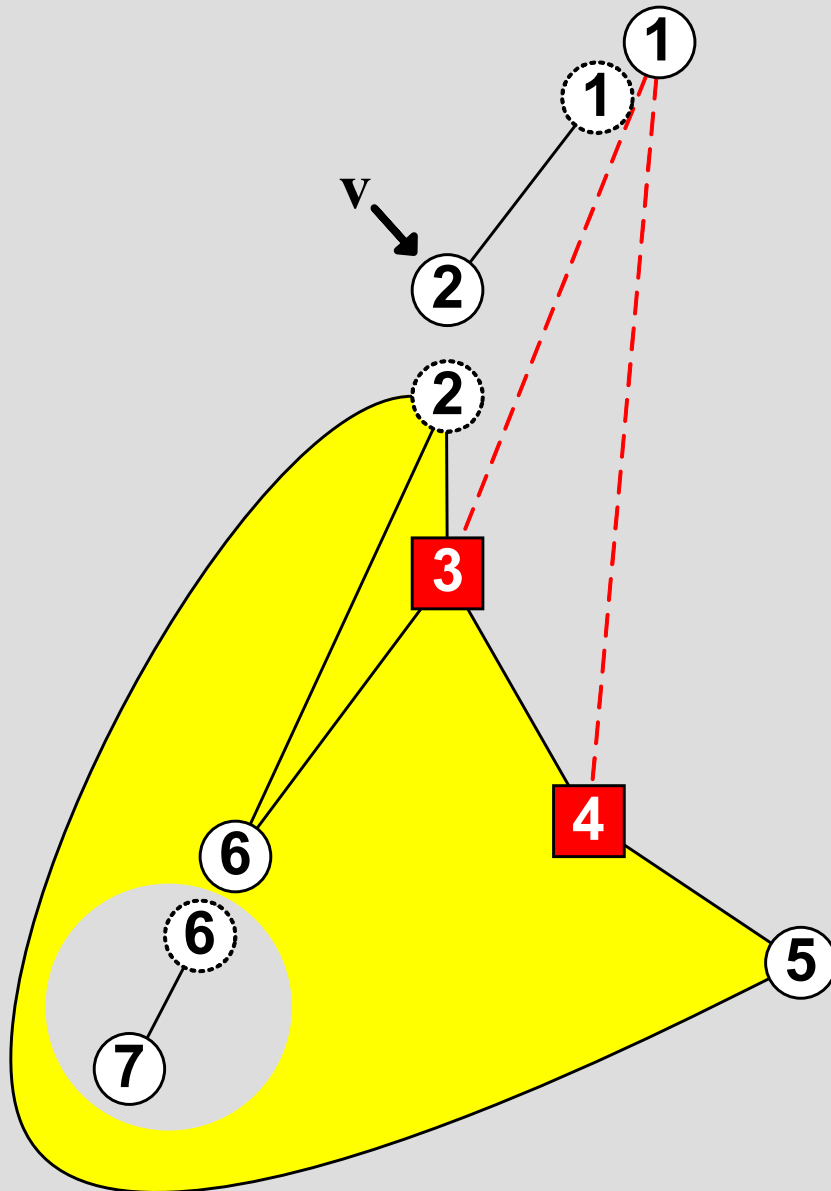
- Bei jeder Einbettung entsteht eine neue, größere Bicomplex.

# Walkdown



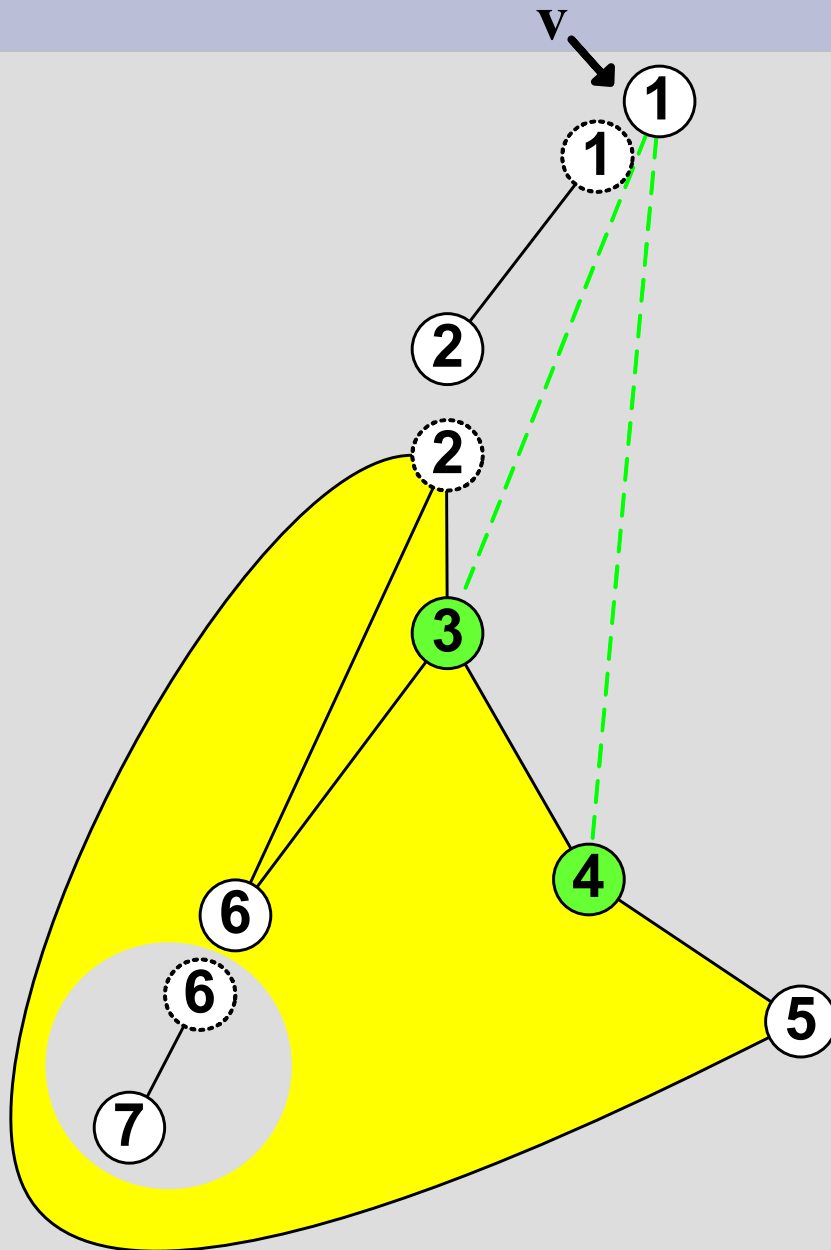
- Wir sind noch immer am Knoten **6** in Richtung CCW.
- Der nächste Knoten an der **external Face** ist **3** und **extern**.
- An externen Knoten wird gestoppt. Ein weiterer Abstieg zu einer **pertinenten** Kinderbicompo ist aber möglich.
- Traversiere zu **3**, **4**, **4**, **5**.

# Walkdown



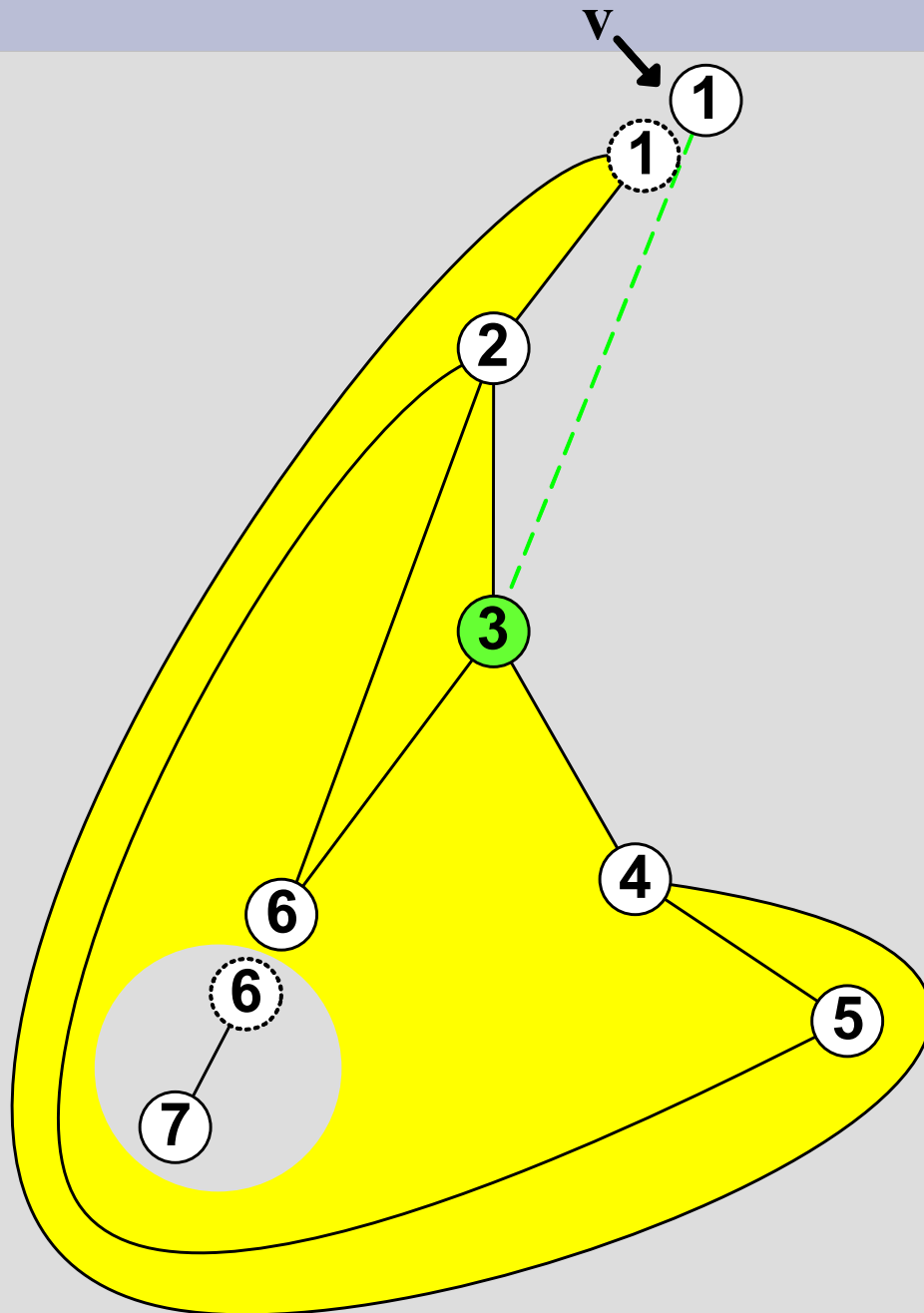
- Bette **Backedge** an **5** ein. Verschmelze dabei involvierte Bicomps.
- Zweiter Walkdown im Uhrzeigersinn stoppt sofort an **3**. Ende für  $v=2$ .

# Knoten 1 einbetten



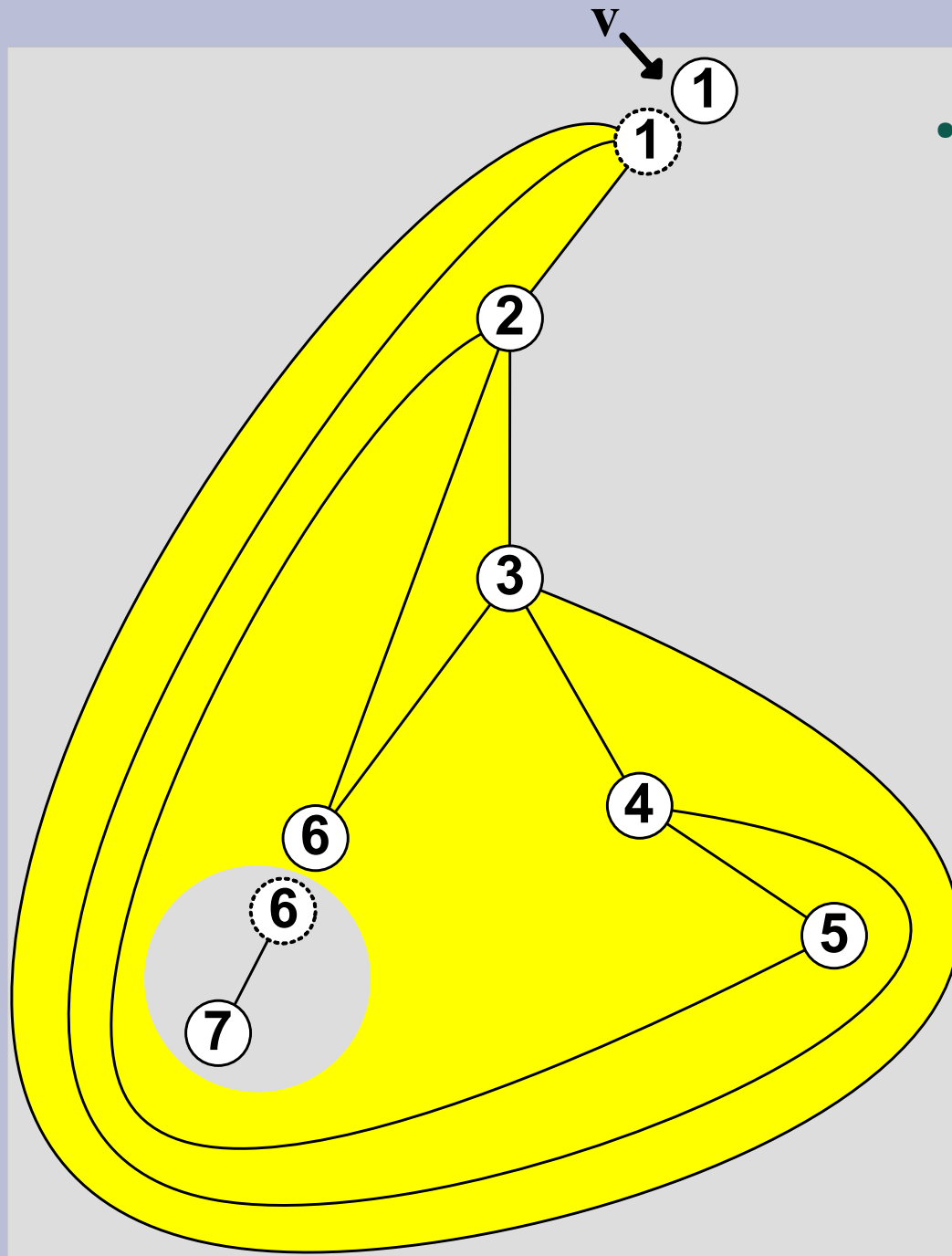
- Knoten 2: hat keine Backedges mehr
- Knoten 1: zunächst Walkup, berechne **pertinente**/**externe** Knoten
- Walkdown in Richtung CCW:
  - 1, 2, 2, 5, 4
  - 4 einbetten, Bicomps verschmelzen

# Knoten 1 einbetten



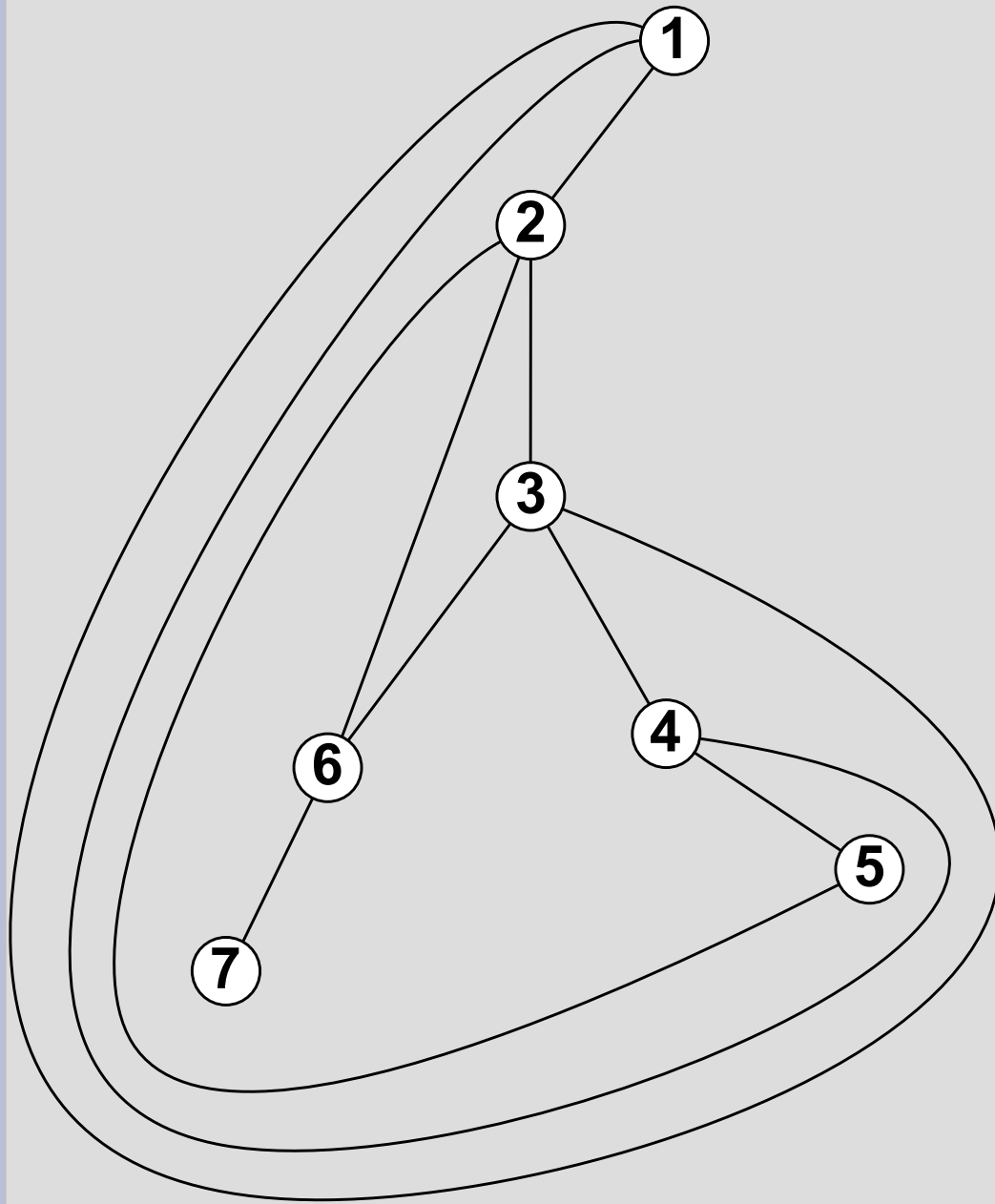
- Knoten 2: hat keine Backedges mehr
- Knoten 1: zunächst Walkup, berechne **pertinente**/**externe** Knoten
- Walkdown in Richtung CCW:
  - 1, 2, 2, 5, 4
  - 4 einbetten, Bicomps verschmelzen
  - 3 einbetten
- Fertig!

# Postprocessing



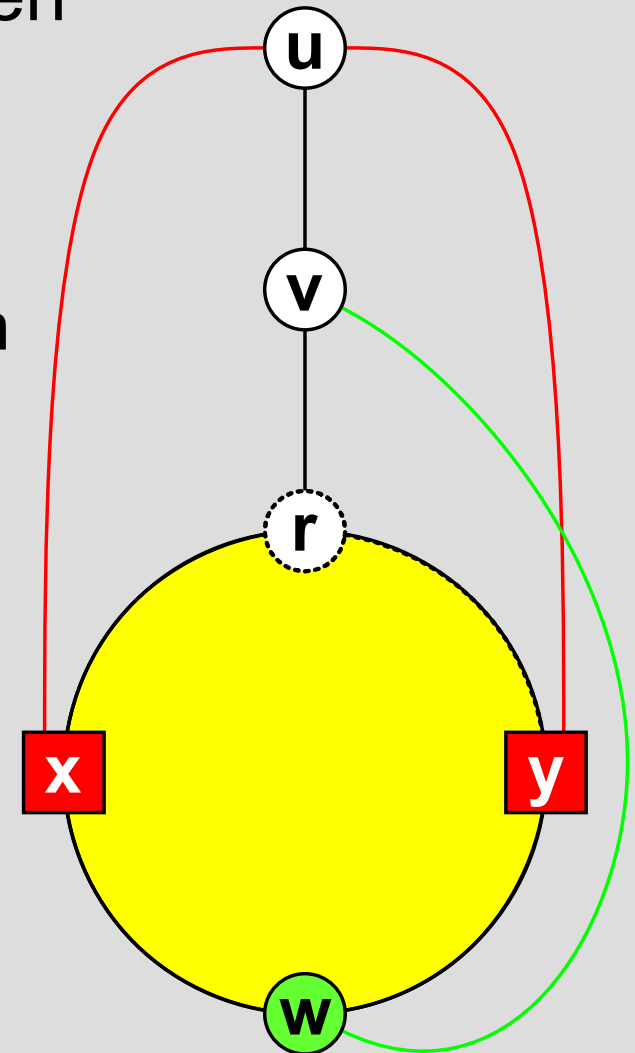
- Zum Abschluss:  
Verschmelze alle virtuellen  
Knoten mit ihren realen Knoten

# Graph ist planar!



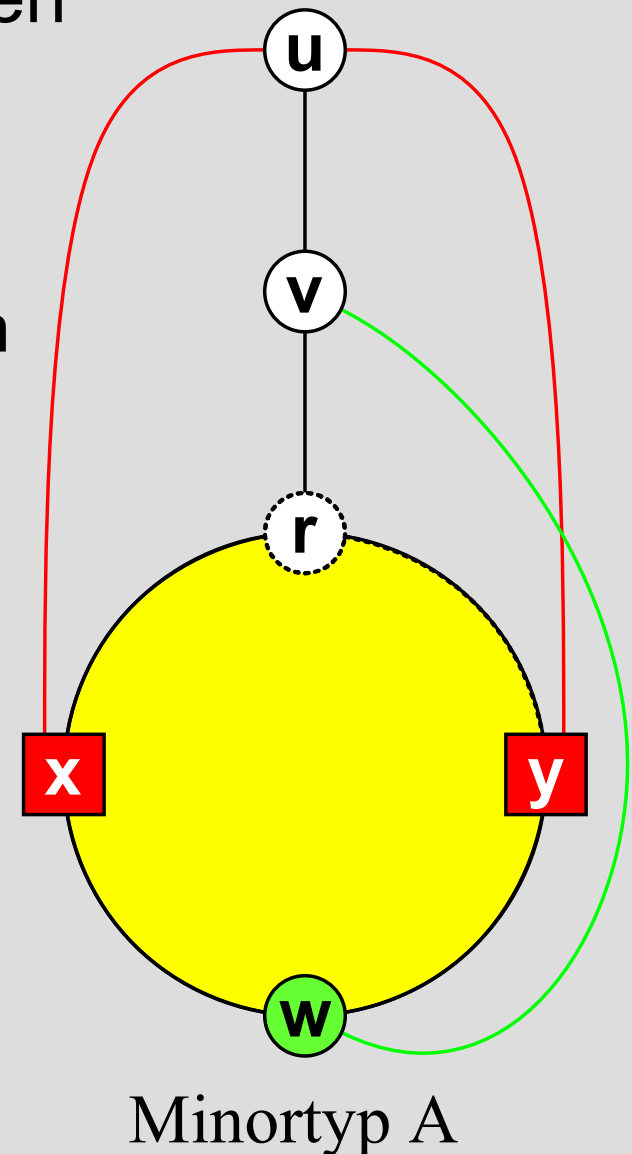
# Nicht planare Graphen

- Wie werden nicht planare Graphen erkannt?
- **Stoppkonfiguration:**
  - Während des Walkdowns wird in beiden Richtungen an **externen** Stoppknoten gehalten
  - Zusätzlich existieren noch **pertinente** Backedges



# Nicht planare Graphen

- Wie werden nicht planare Graphen erkannt?
- **Stoppkonfiguration:**
  - Während des Walkdowns wird in beiden Richtungen an **externen** Stoppknoten gehalten
  - Zusätzlich existieren noch **pertinente** Backedges
- Hier  $K_{3,3}$
- Viele verschiedene Minortypen:  $A, B, C, D, E_1 - E_4$



# Hier nicht behandelt

- „**Flipping**“ von Bicomps in konstanter Zeit
- Dynamische Datenstrukturen in  $O(1)$
- Short Circuit Edges

Damit  $O(n)$  möglich!

Grundidee:

- Jeder Walkdown erzeugt neue Face.
- Summe aller Facekanten linear, also auch Walkdown linear.

# Übersicht

1. Einleitung
2. Der Boyer-Myrvold Planaritätstest
- 3. Erweiterungen**
4. Experimentelle Ergebnisse

# Erweiterungen

- **Aufgabe:**  
Effiziente Extraktion von vielen Kuratowski-Subdivisions
- **Motivation:**
  - Generierung von Constraints beim Branch&Cut
    - Berechnung kreuzungsminimaler Einbettungen (NP-schwer)
    - Maximum Planar Subgraph Problem (NP-schwer)
  - Möglichst ähnliche bzw. verschiedene Kuratowski-Subdivisions wünschenswert
  - Heuristik für Maximal Planar Subgraph Problem

# Effiziente Kuratowski-Extraktion

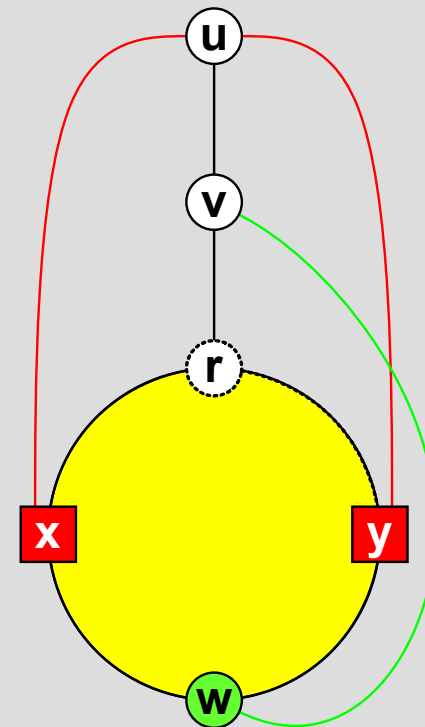
## Probleme:

- Es kann  $O(2^m)$  viele Kuratowski-Subdivisions geben
- Wie arbeitet der Planaritätstest nach einer gefundenen Kuratowski-Subdivision weiter?
- Algorithmus ändert sich dadurch vollständig, neue Laufzeitanalyse nötig.

## Untere, lineare Schranke:

$$\Omega\left(n + m + \sum_{K \in \text{Kuratowskis}} |K|\right)$$

Wie nah kommt man theoretisch an die untere Schranke dran?



# Effiziente Kuratowski-Extraktion

## Boyer-Myrvold:

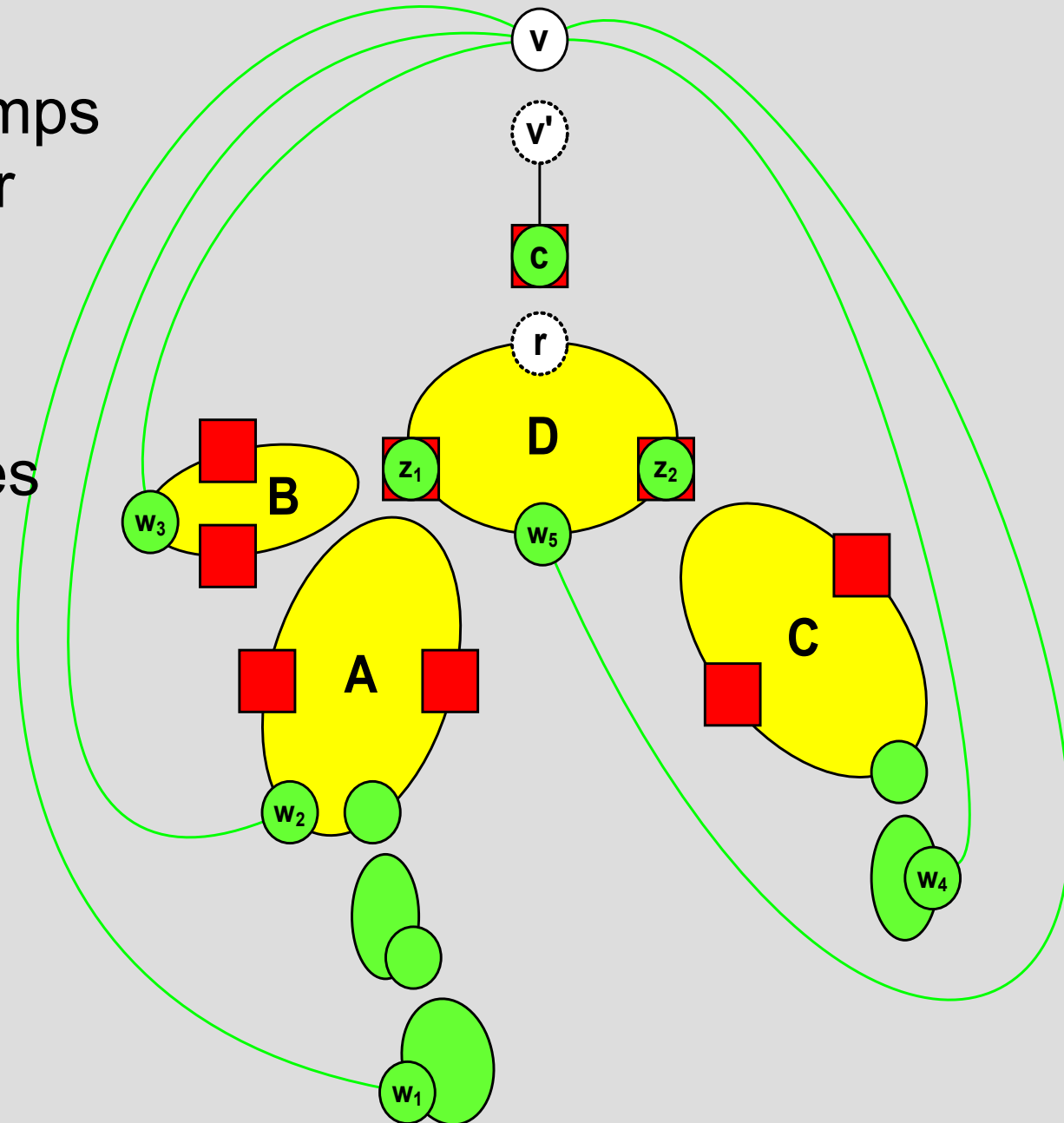
- $\leq 1$  Kuratowski-Subdivisions, danach Abbruch
- Hier: Möglichst viele

## Erweiterungen:

- Global (Anzahl Stoppkonfigurationen erhöhen)
- Lokal (innerhalb einer Stoppkonfiguration)

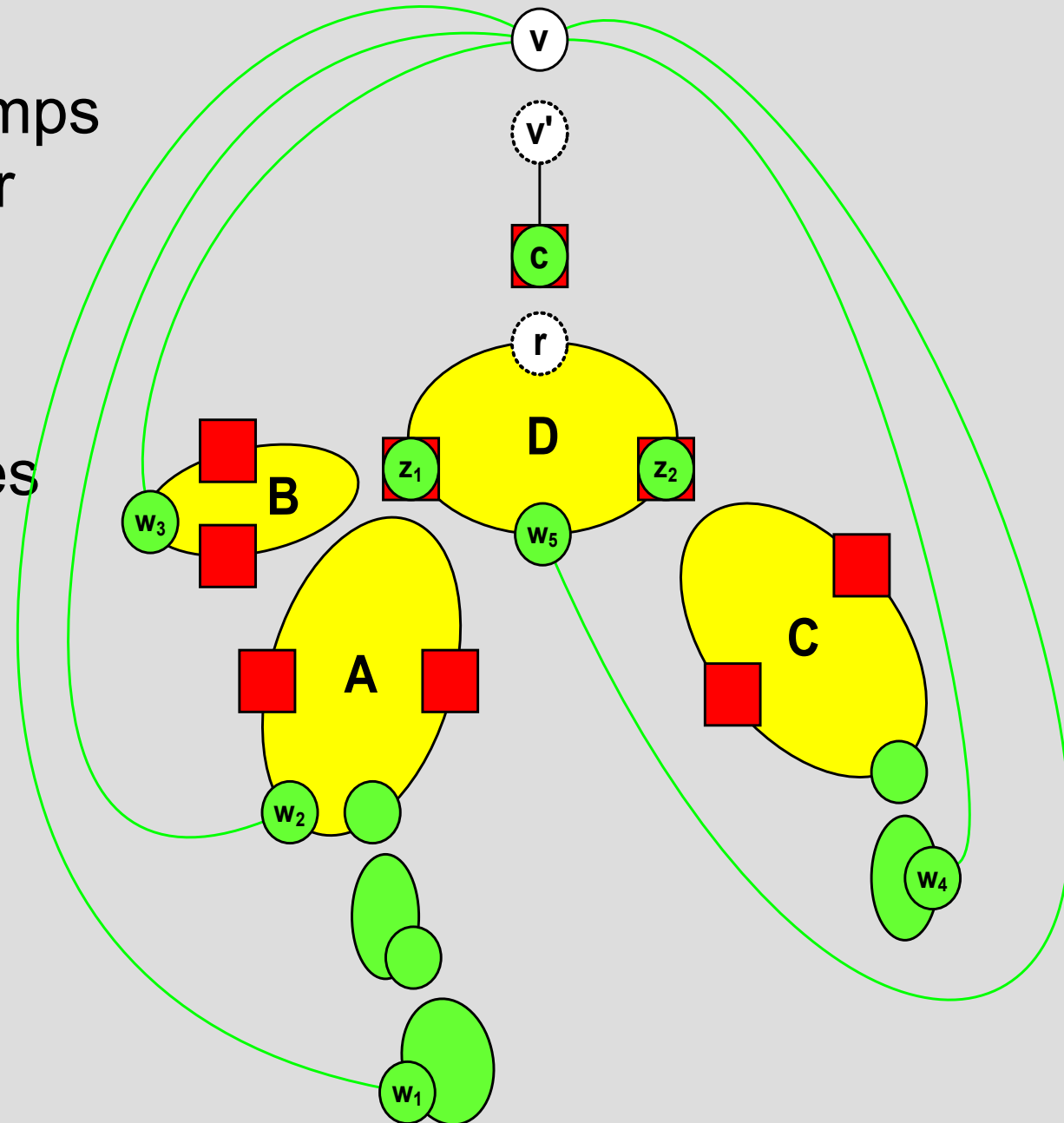
# Globale Erweiterungen

- **T:** Baum von Bicomps
- **Idee:** Bei erreichter Stoppkonfiguration alle Subdivisions extrahieren und kritische Backedges löschen.
- Wie gehts weiter?



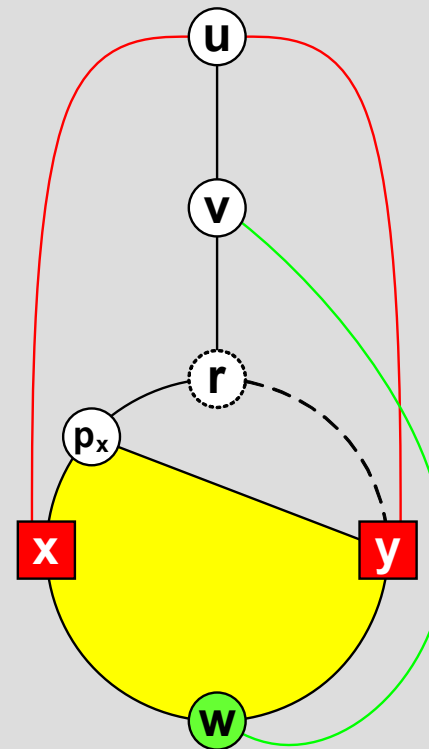
# Globale Erweiterungen

- **T**: Baum von Bicomps
- **Idee**: Bei erreichter Stoppkonfiguration alle Subdivisions extrahieren und kritische Backedges löschen.
- Wie gehts weiter?
- Zwischenzeitliche Einbettungen sind möglich

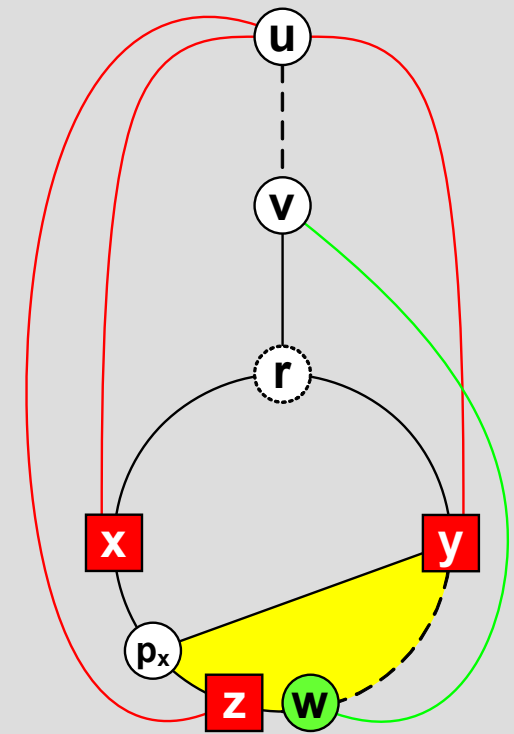


# HighestXYPath

- „Oberster Pfad innerhalb der Bicomponente“, der **r** und **w** trennt
- Wichtig für die Erkennung des zu extrahierenden Minortyps

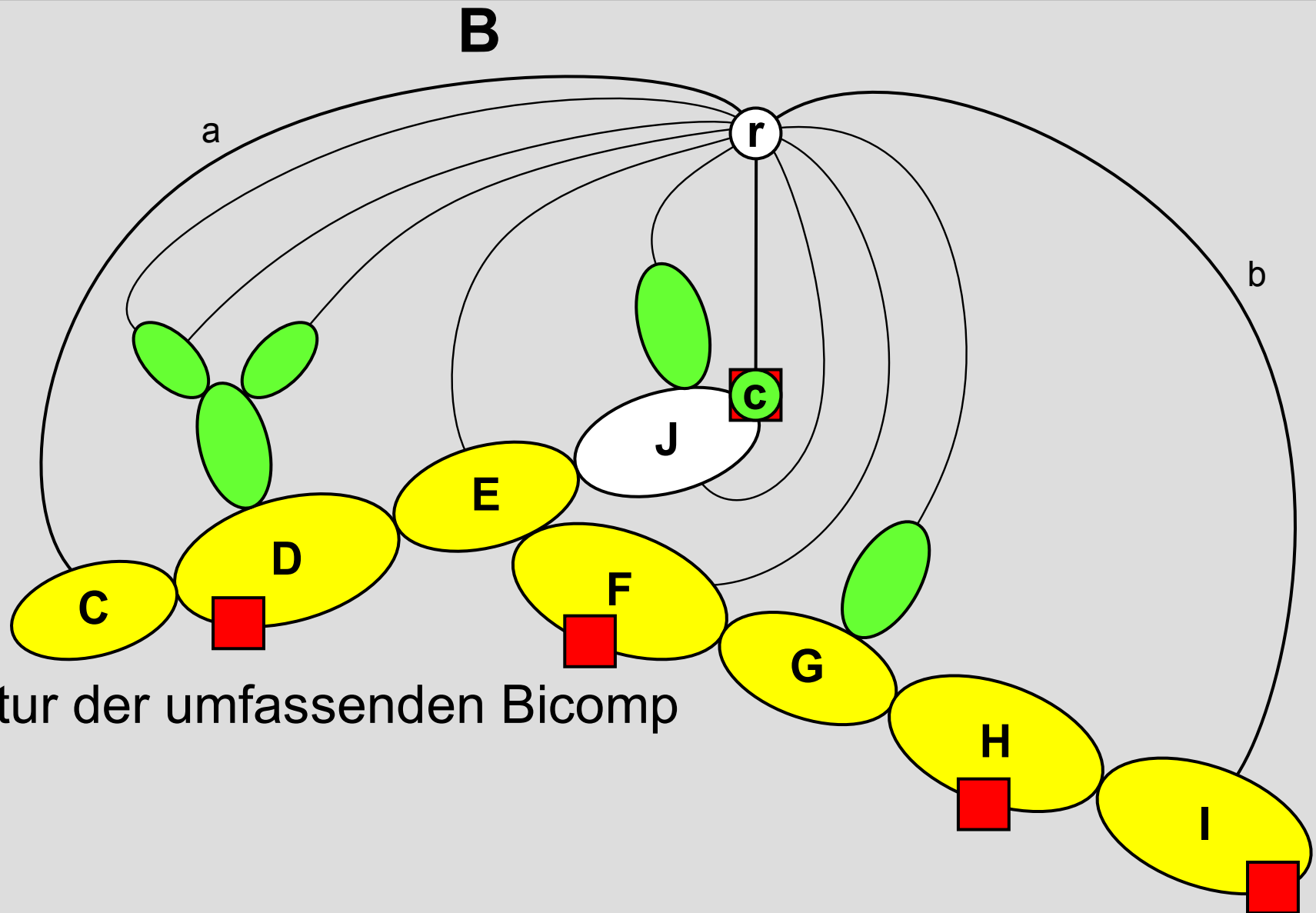


Minor AD



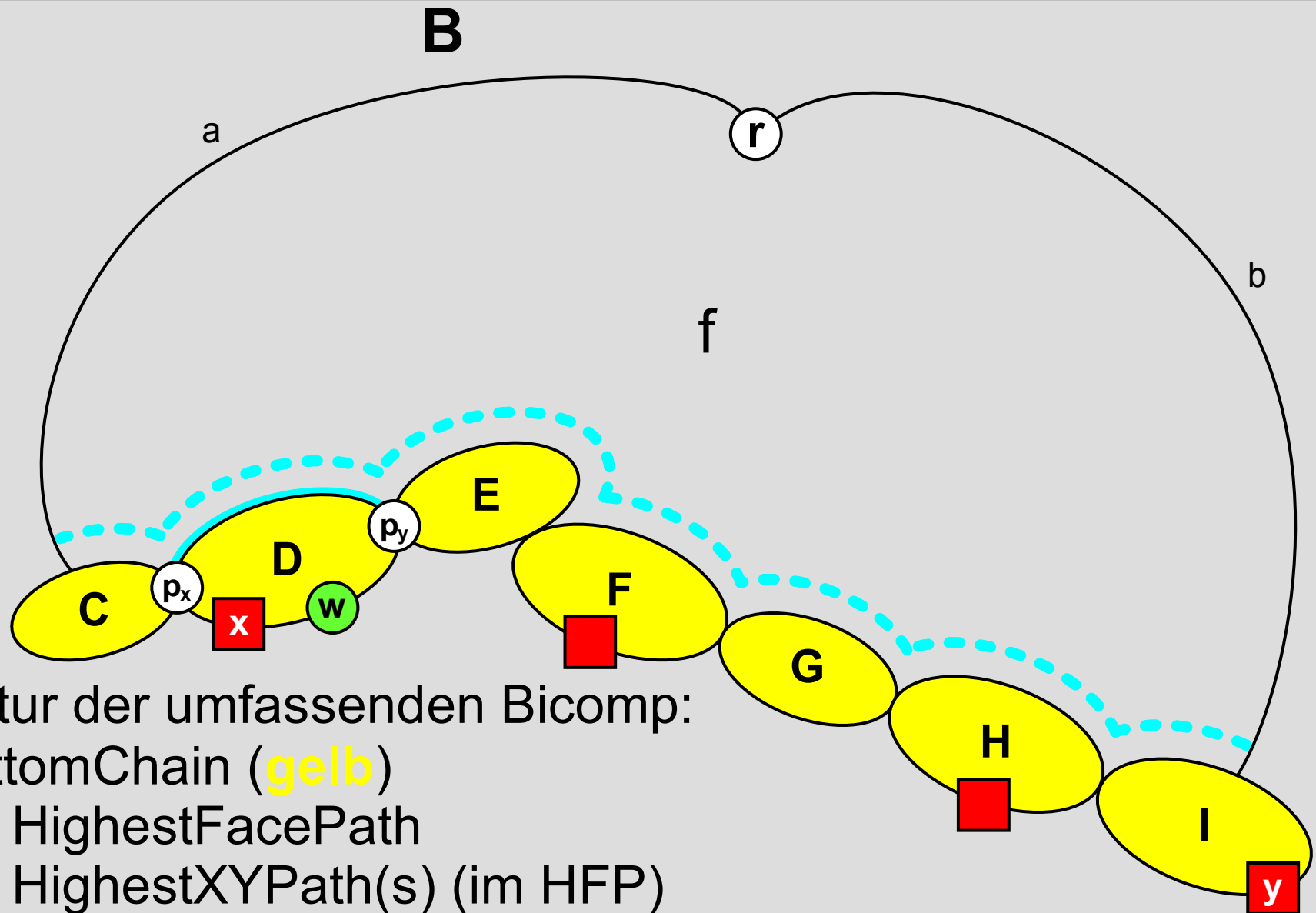
Minor AE<sub>4</sub>

# HighestXYPath

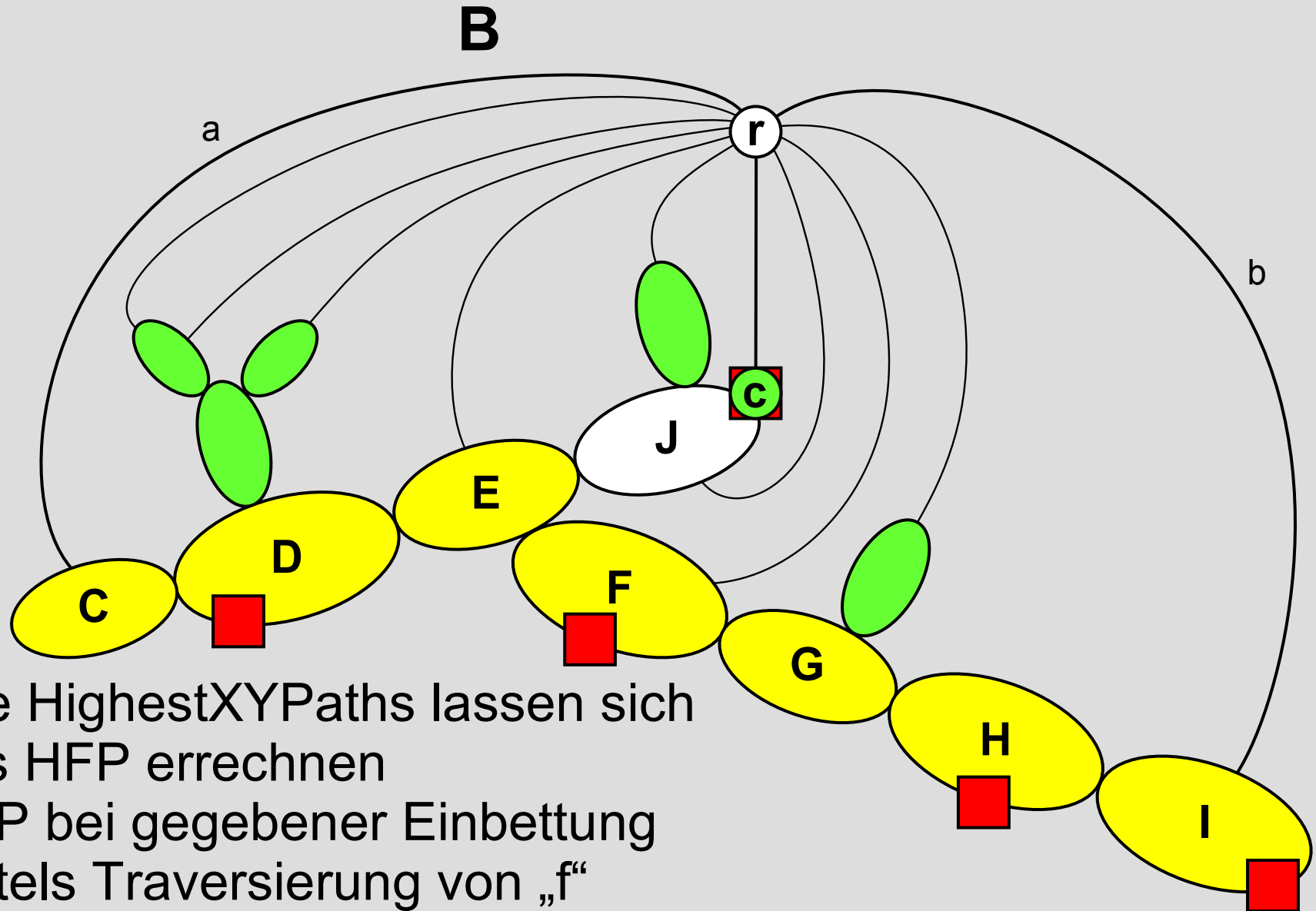


Struktur der umfassenden Bicomp

# HighestXYPath

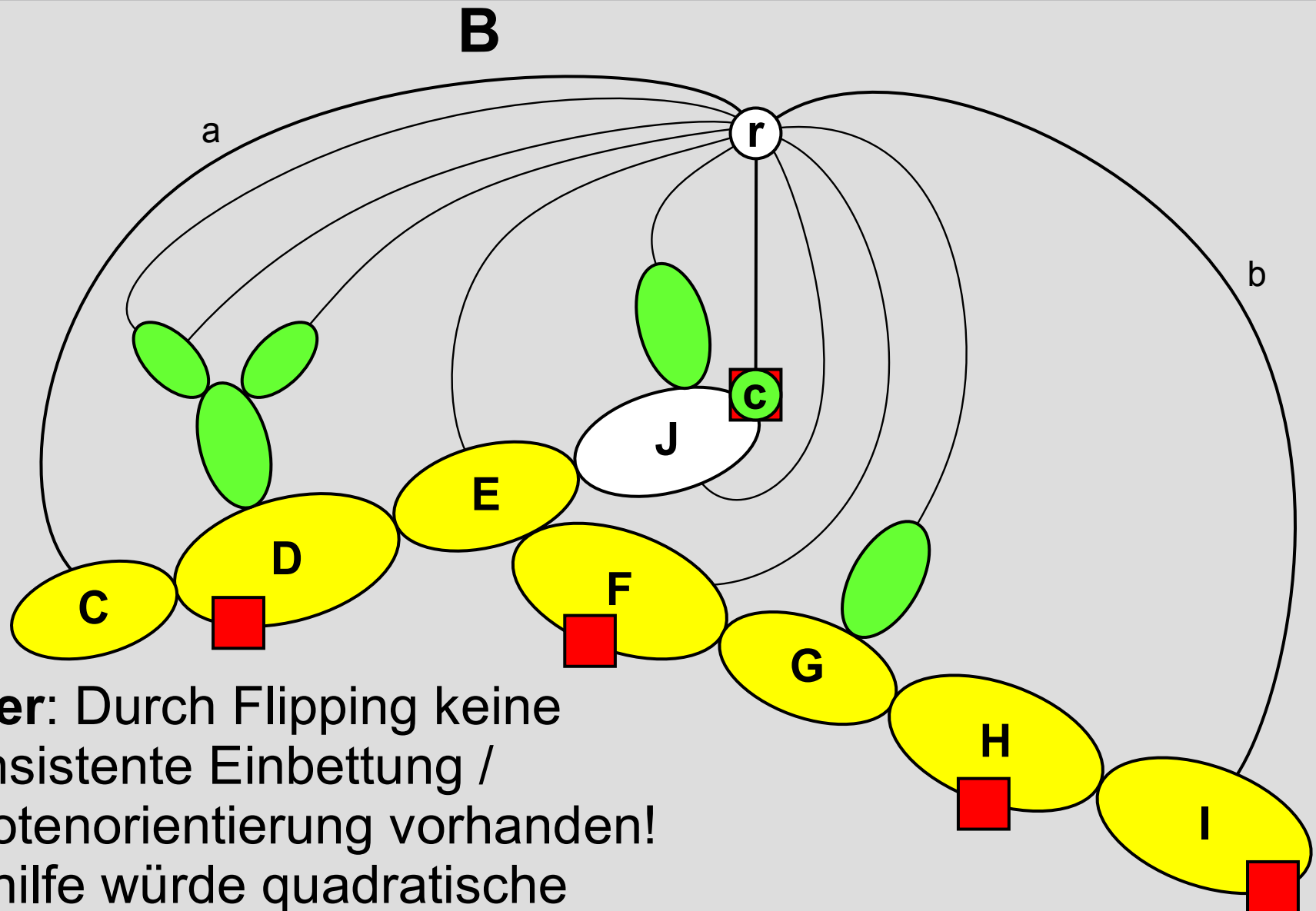


# HighestFacePath



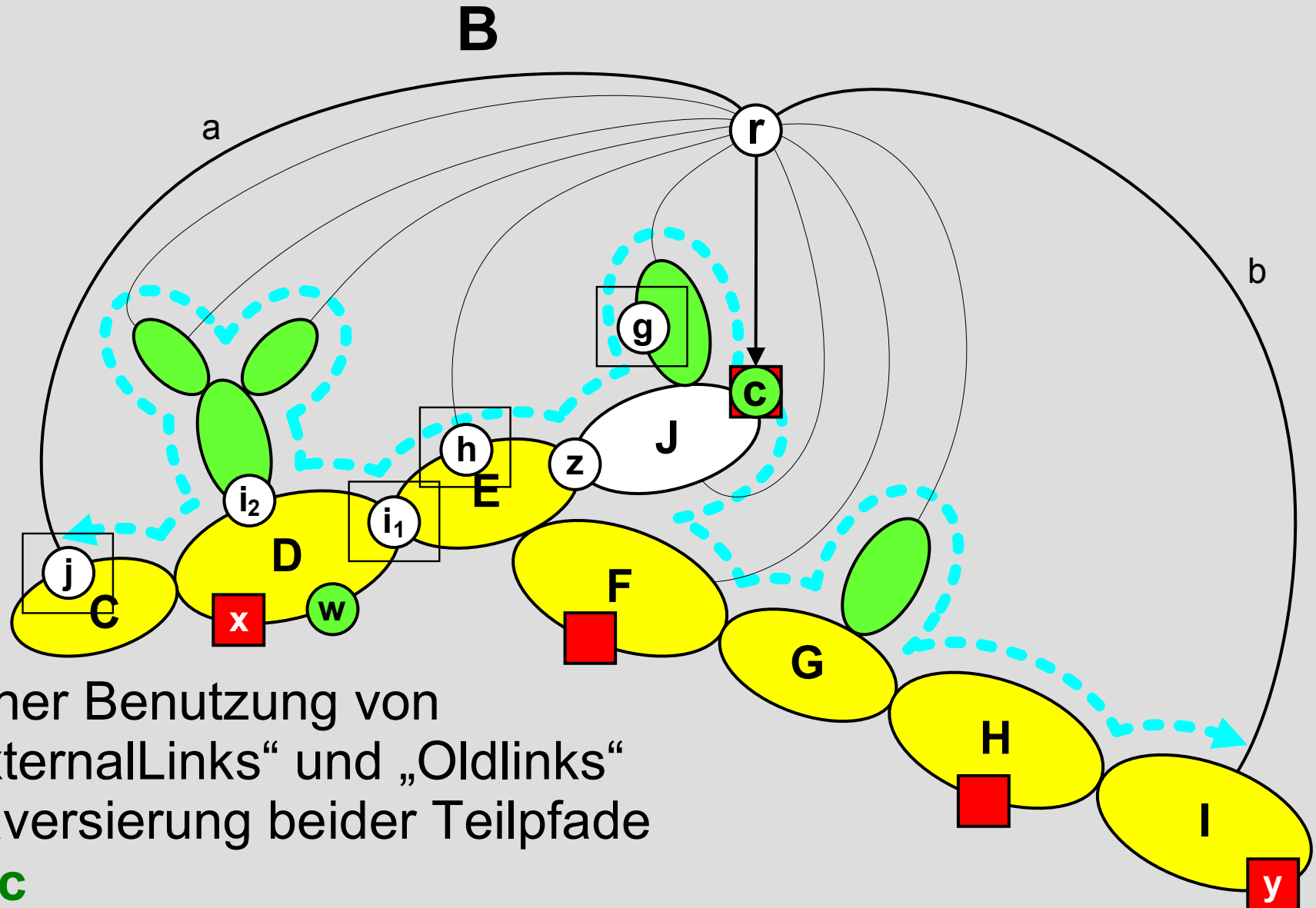
- Alle HighestXYPaths lassen sich aus HFP errechnen
- HFP bei gegebener Einbettung mittels Traversierung von „f“

# HighestFacePath



- **Aber:** Durch Flipping keine konsistente Einbettung / Knotenorientierung vorhanden!
- Abhilfe würde quadratische Laufzeit verursachen

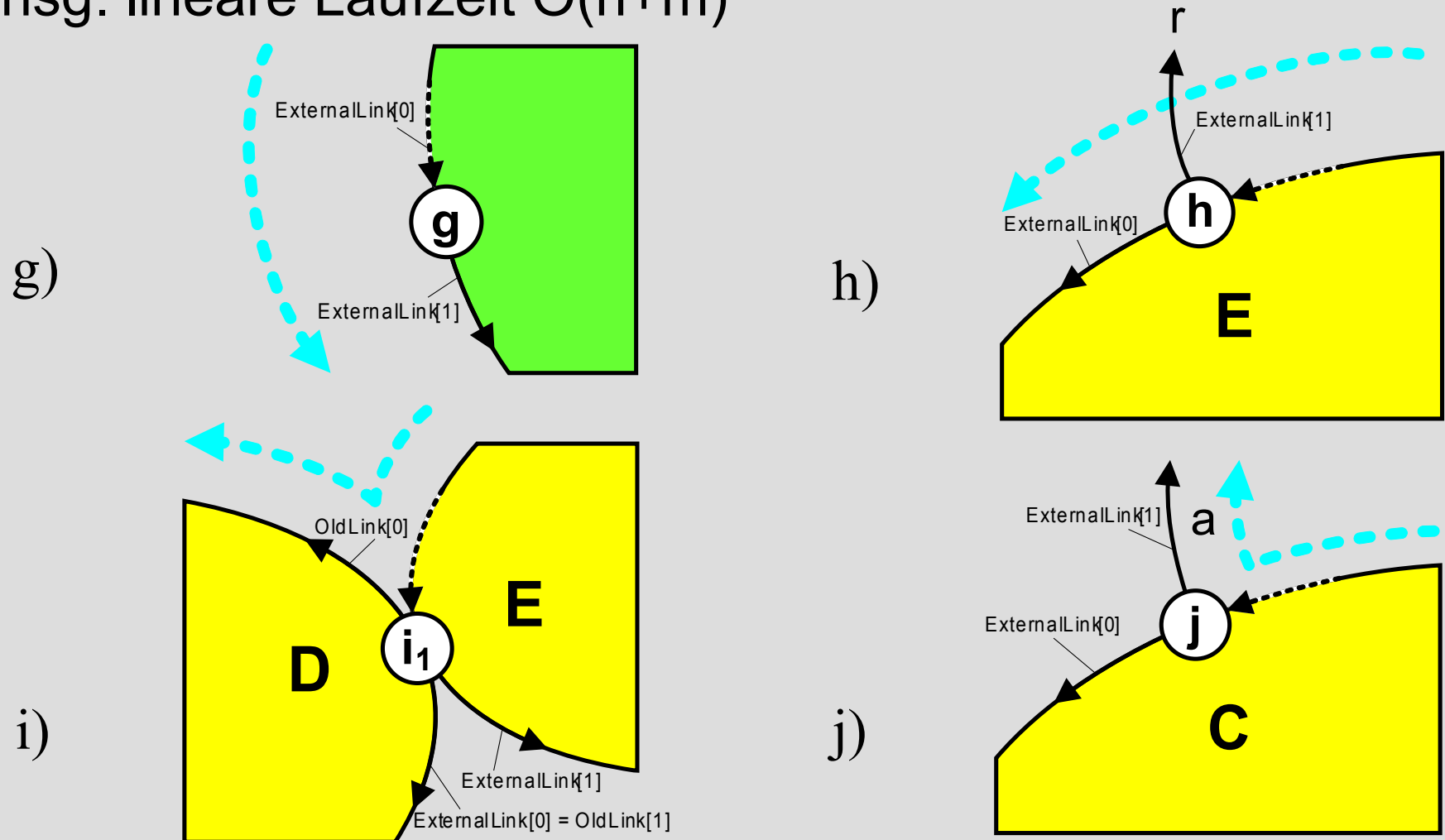
# HighestFacePath



- Daher Benutzung von „ExternalLinks“ und „Oldlinks“
- Traversierung beider Teilpfade ab **c**

# HighestFacePath

- Damit navigieren trotz inkonsistenter Orientierung möglich
- 4 Knotentypen mit Traversierungsregel für jeden einzelnen
- Insg. lineare Laufzeit  $O(n+m)$

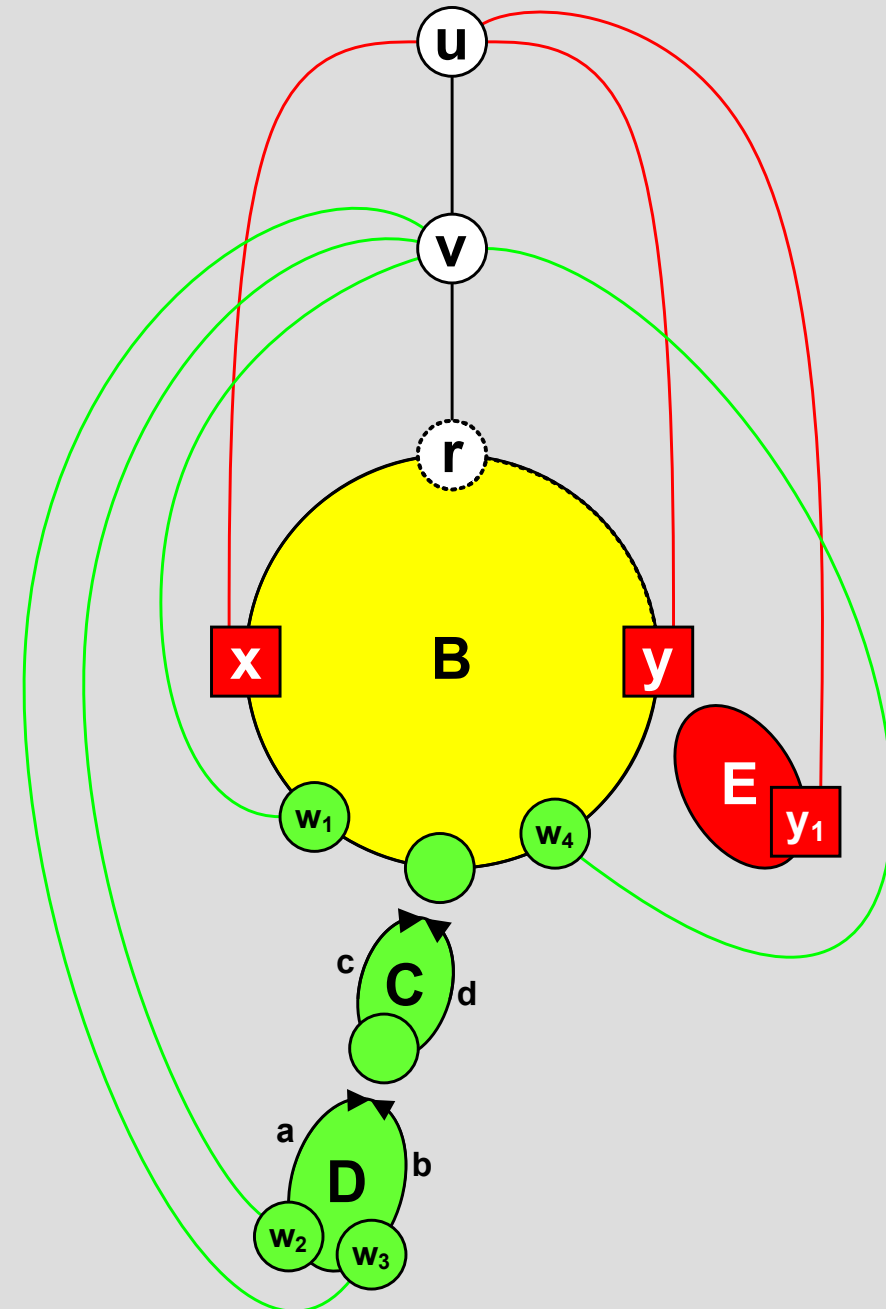




# Lokale Erweiterungen

## Mehrere Kuratowskis durch:

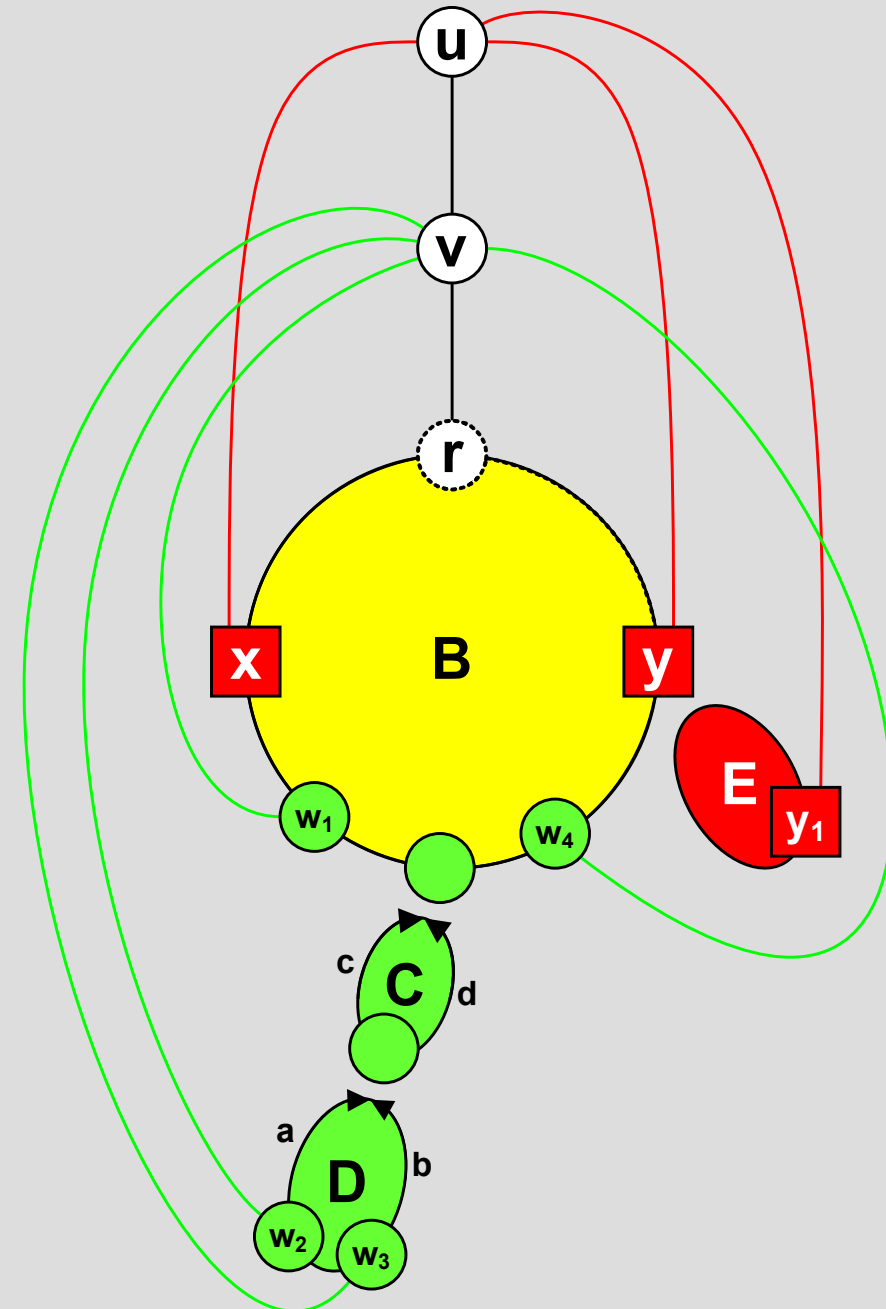
- Verschiedene „**kritische**“ Backedges / -pfade
- Verschiedene **externe** Backedges / -pfade
- Hier:  $(2+8)*2 = 20$  Kuratowski-Subdivisions aus einer Stoppkonfiguration.



# Lokale Erweiterungen

## Mehrere Kuratowskis durch:

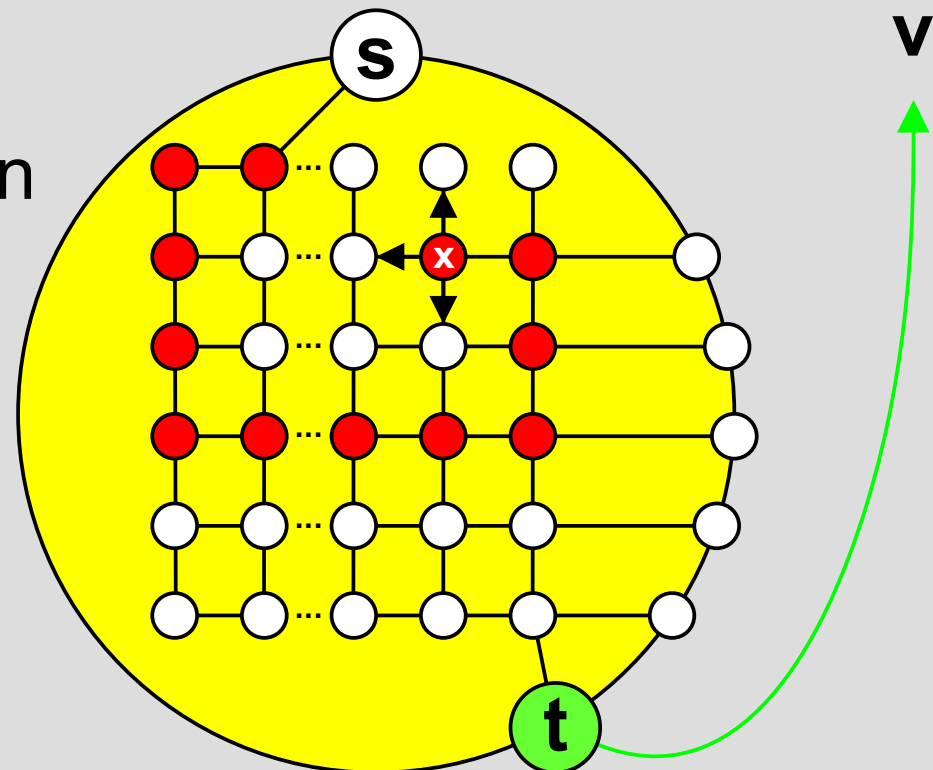
- Verschiedene „**kritische**“ Backedges / -pfade
- Verschiedene **externe** Backedges / -pfade
- Hier:  $(2+8)*2 = 20$  Kuratowski-Subdivisions aus einer Stoppkonfiguration.
- Bundle-Variante
- Zusätzliche Minortypen



# Bundle-Variante

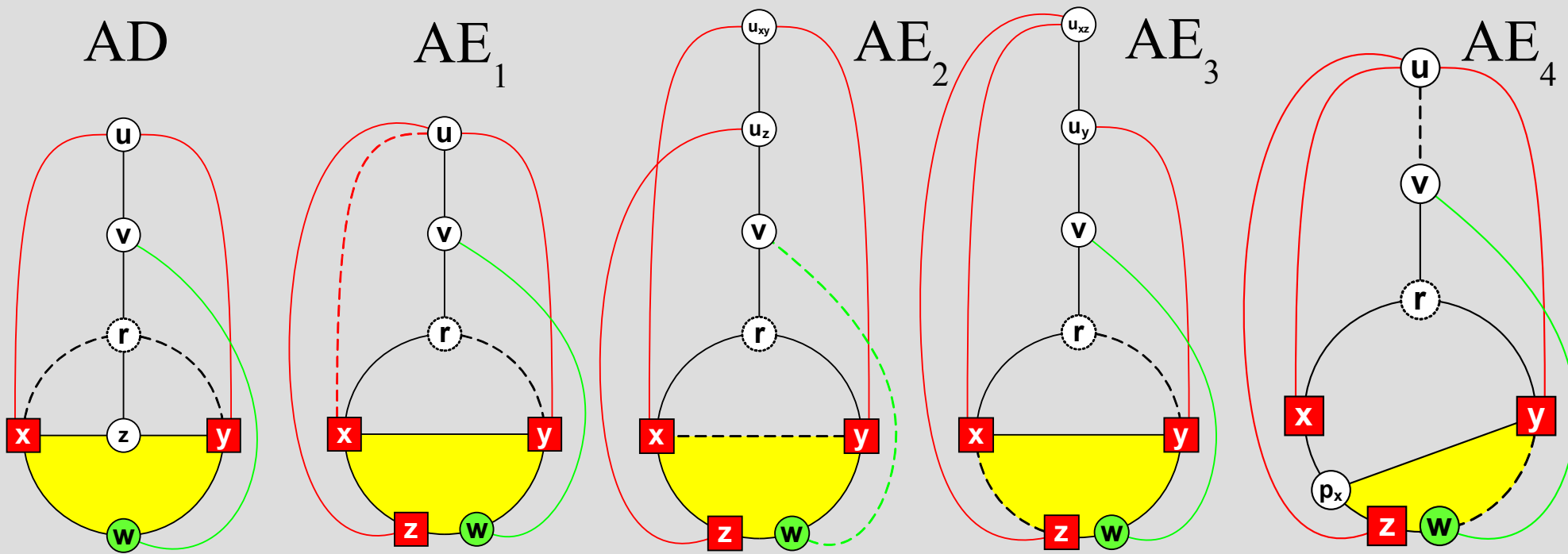
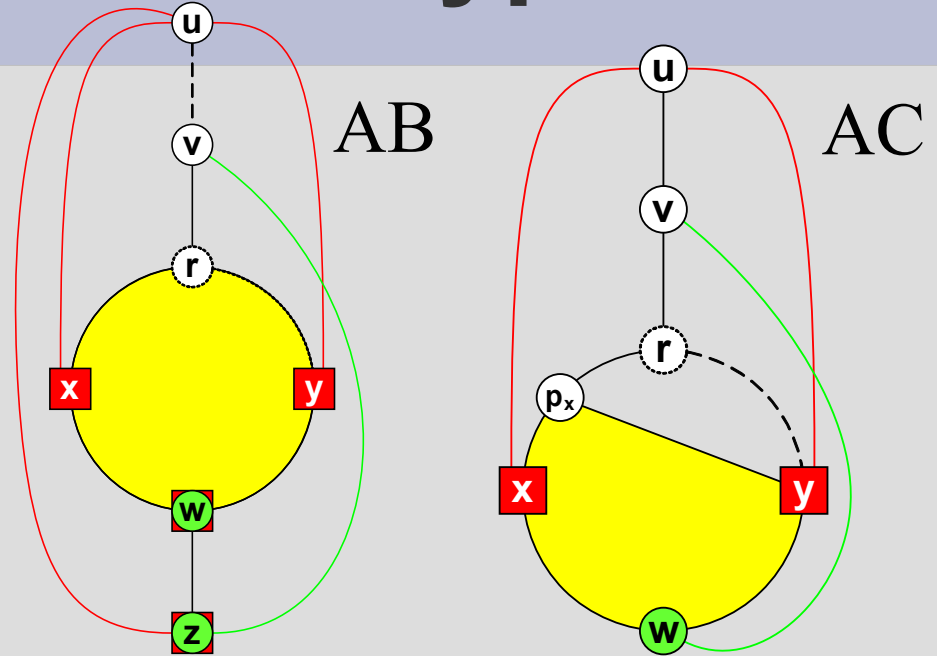
## „Bündel“ von Kuratowski-Pfaden:

- Alle s-t-Pfade jeder Bicomponent werden genutzt (i.A. exponentiell viele).
- Durch **Sackgassen** keine lineare Laufzeit bei Extraktion (untere Schranke von Patrascu & Demaine, 2004)
- Zusätzlicher Faktor „ $\log(n)$ “ für jede extrahierte Subdivision



# Zusätzliche Minortypen

- Statt 9 verschiedener Minortypen nun 16!
- Kuratowski-Subdivisions ergeben sich durch Löschen der gestrichelten Pfade.



# Gesamtlaufzeit

S = Menge der extrahierten Kuratowski-Subdivisions  
 Ziel: Kompensiere Mehraufwand durch Subdivision-Edges

Gesamtlaufzeit ist

$$O\left(n + m + \sum_{K \in S} |K|\right)$$

und damit linear

Berechnungsschritt	Erw.	Gesamtlaufzeit
Erweiterter Walkup	global	$O(n + m + \sum_{K \in S}  E(K) )$
Erweiterter Walkdown	global	$O(n + m + \sum_{K \in S}  E(K) )$
– ShortCircuit-Kanten	global	$O(n + m)$
Zusätzliche Backedgepfade	lokal	$O(\sum_{K \in S}  E(K) )$
Klassifikation der Minortypen	lokal	$O(n + m + \sum_{K \in S}  E(K) )$
Extraktion...		
– ...von $v, r, stopX, stopY$	global	$O(m)$
– ...kritischer Backedges	global	$O(n + m + \sum_{K \in S}  E(K) )$
– ...externer Backedgepfade	lokal	$O(\sum_{K \in S}  E(K) )$
– ...der <i>HighestFacePaths</i>	global	$O(n + m)$
– ...und Lage der <i>HighestXYPaths</i>	global	$O(\sum_{K \in S}  E(K) )$
– ...externer $z$ -Knoten für die Minortypen $E/AE$	lokal	$O(\sum_{K \in S}  E(K) )$
Extraktion aller Minortypen	lokal	$O(\sum_{K \in S}  E(K) )$

# Übersicht

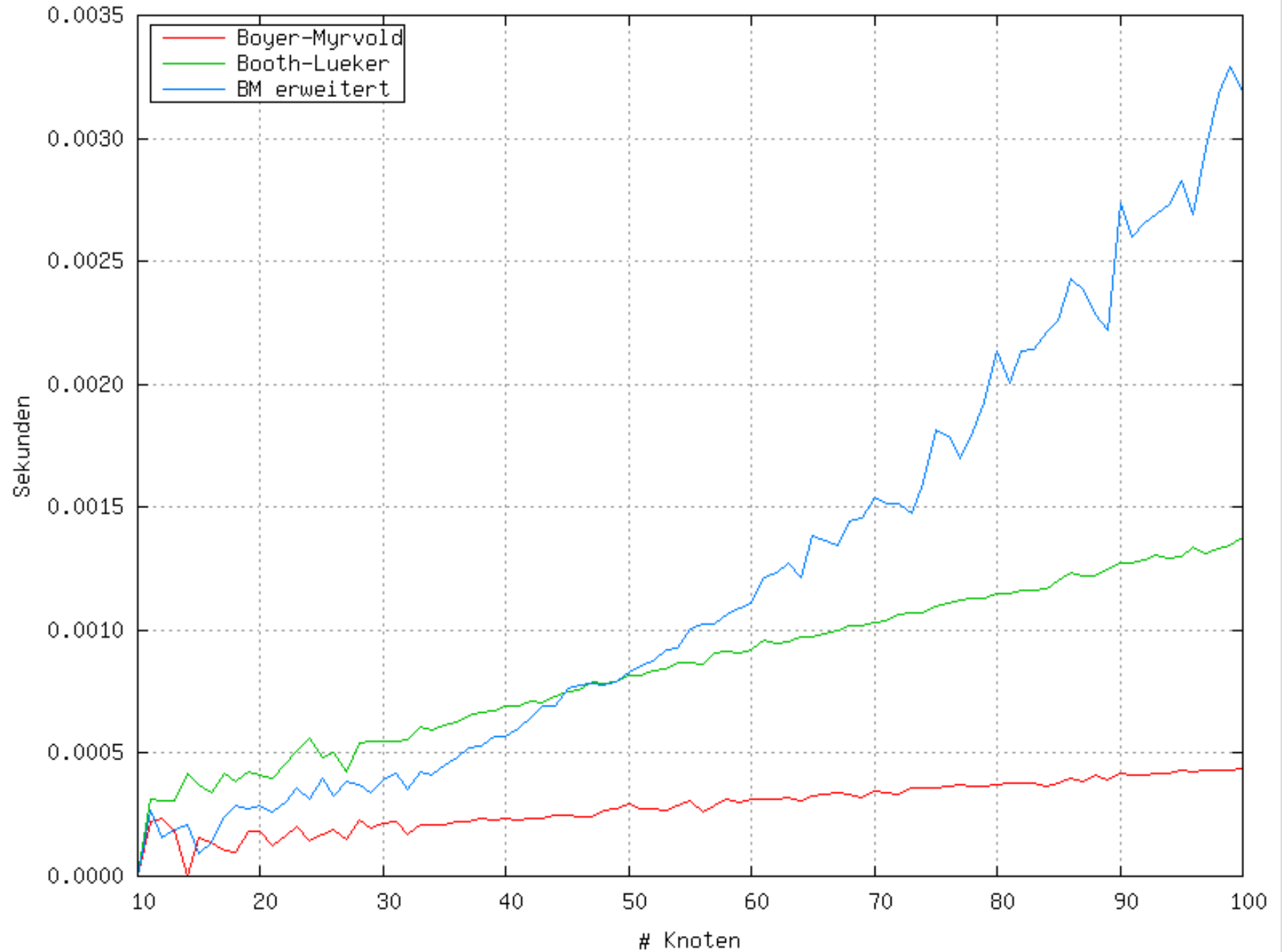
1. Einleitung
2. Der Boyer-Myrvold Planaritätstest
3. Erweiterungen
- 4. Experimentelle Ergebnisse**

# Experimentelle Ergebnisse

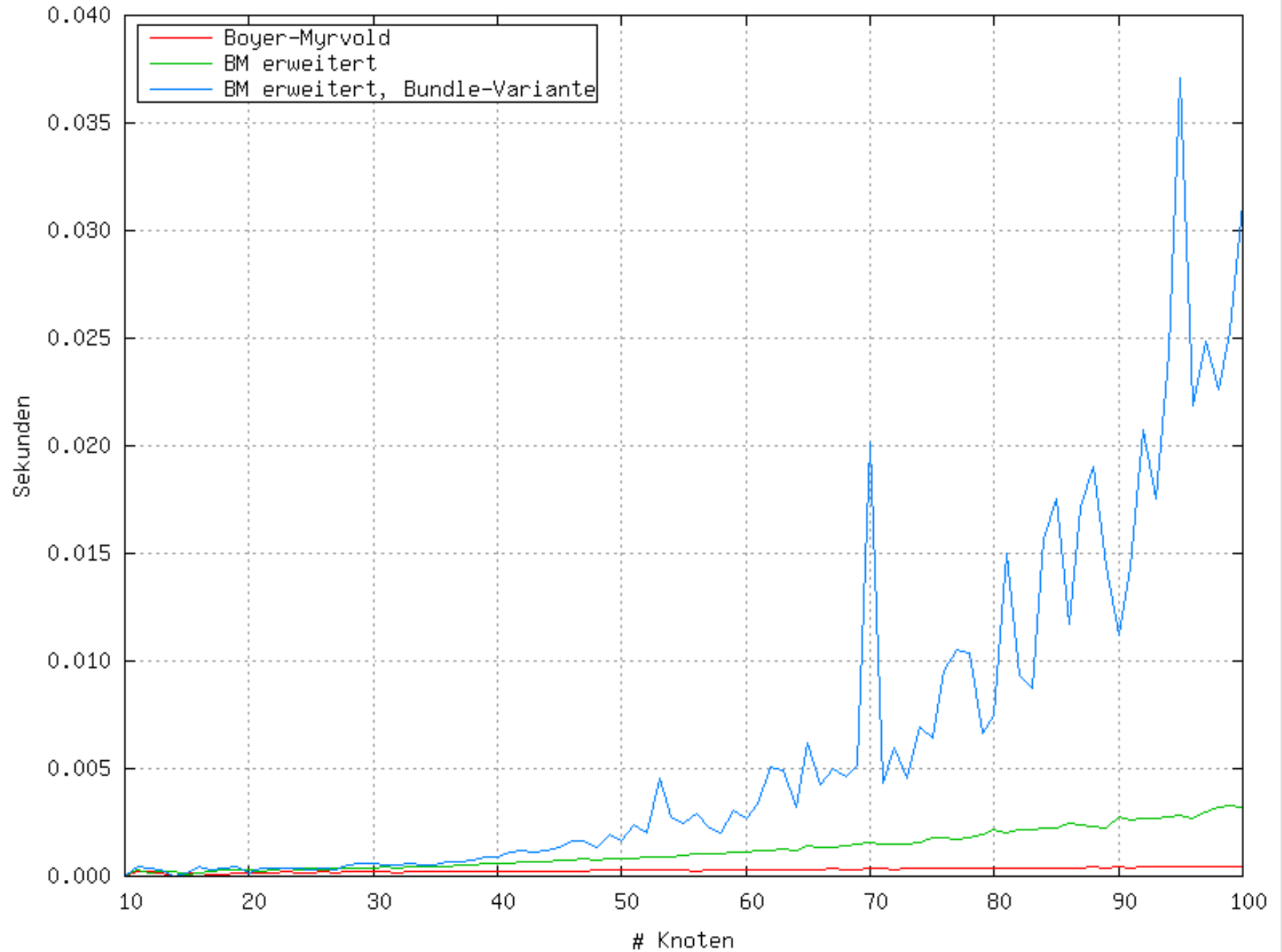
## Testplattform

- Implementierung im Open Graph Drawing Framework (OGDF)
- Intel CoreDuo 6300
- 2GB Ram
- GCC 3.4.4, -O1
  
- Graphen:
  - Rome-Library (50 Samples)
  - Random Graphs (über OGDF generiert, 20 Samples)

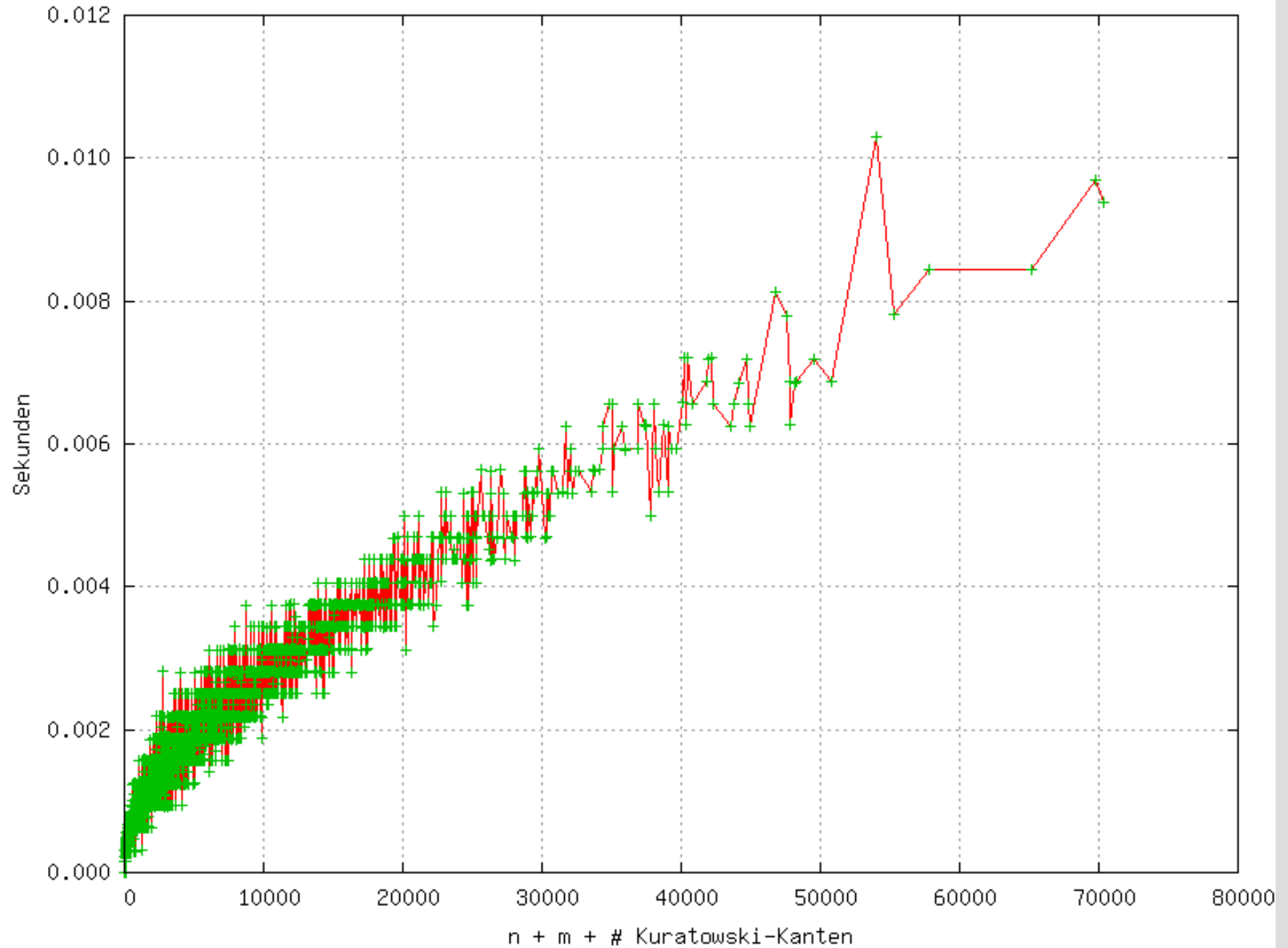
# Rome Library - Laufzeit



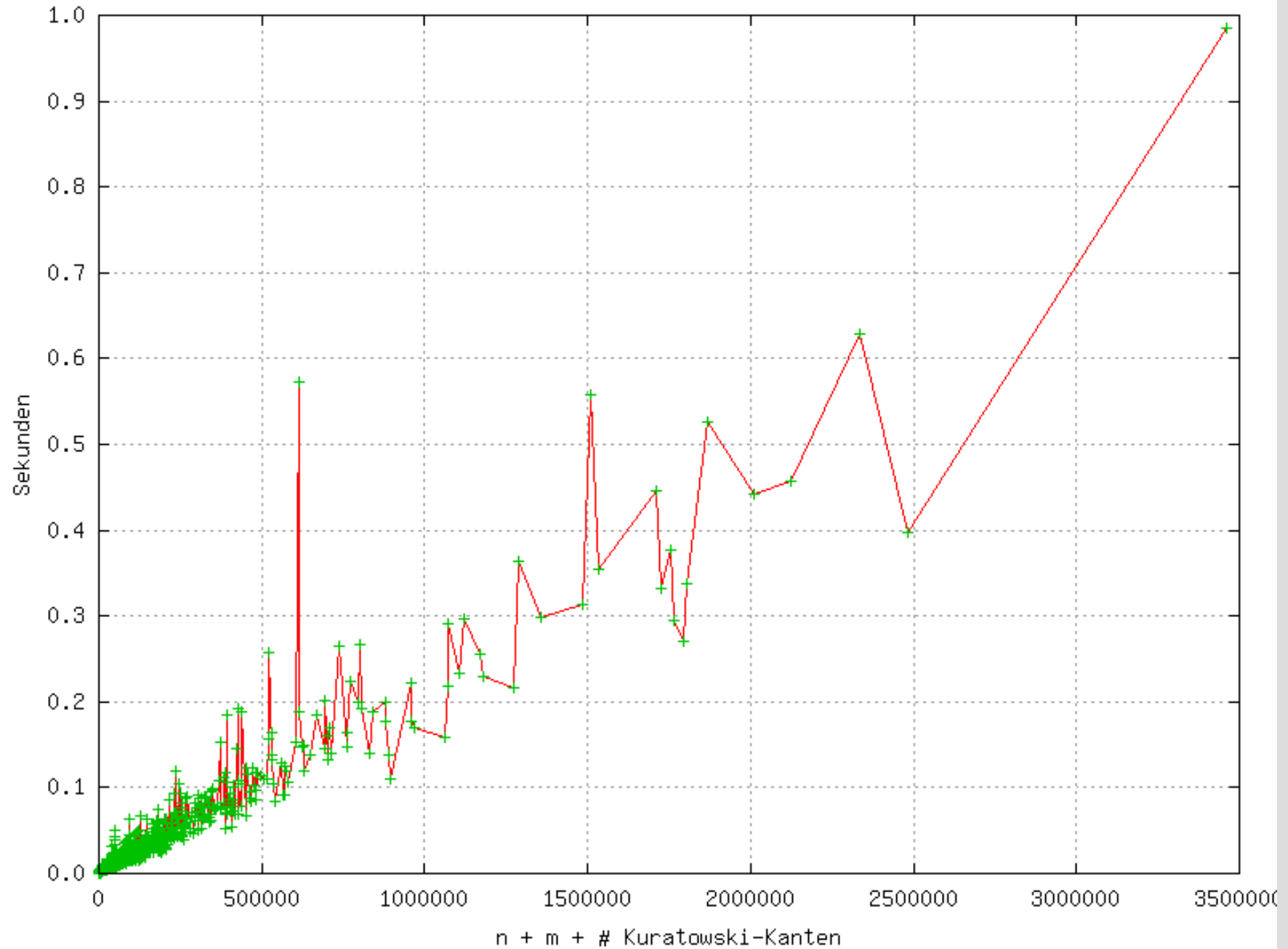
# Rome Library – Laufzeit Bundles



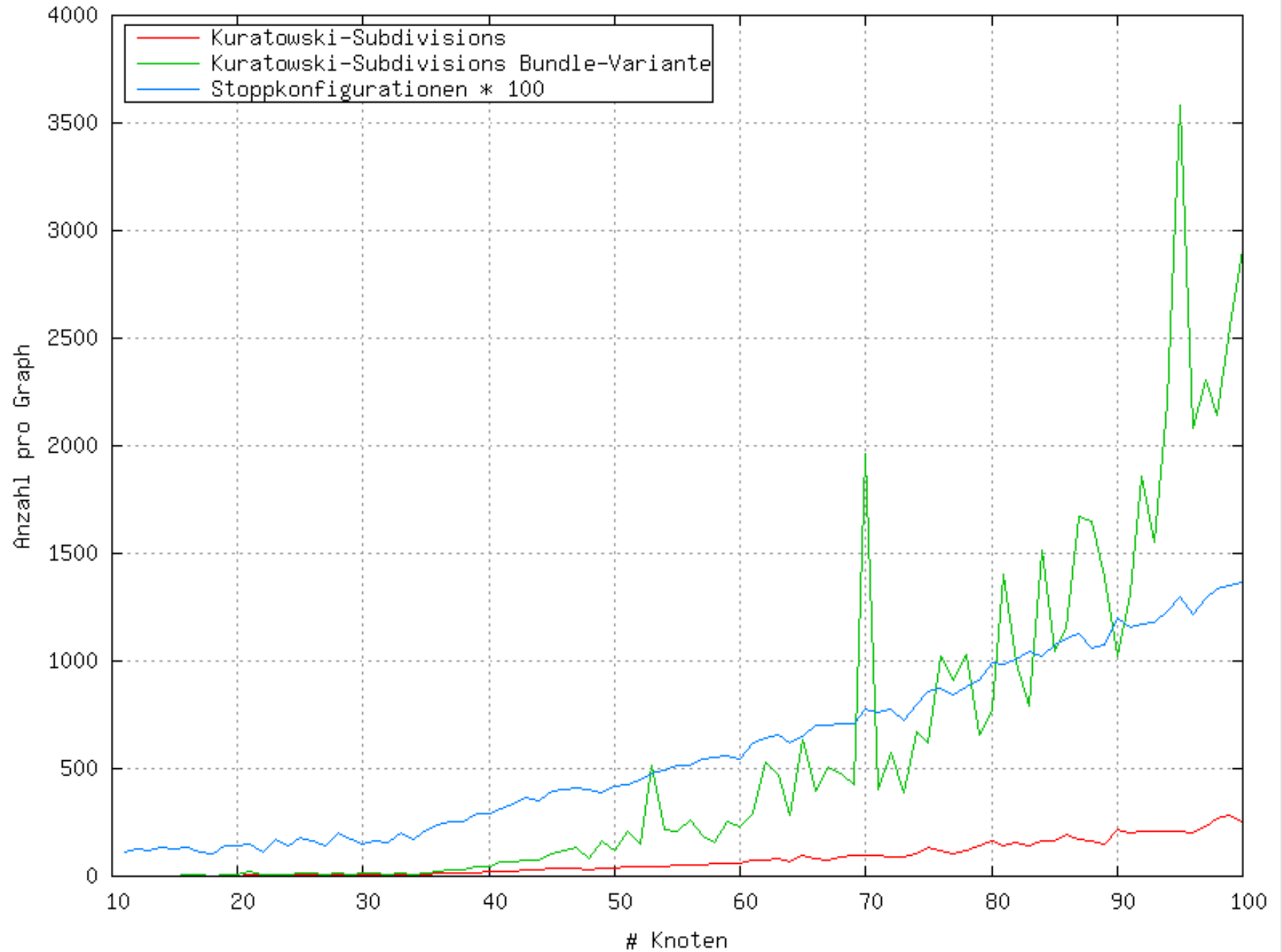
# Rome Library – Laufzeit



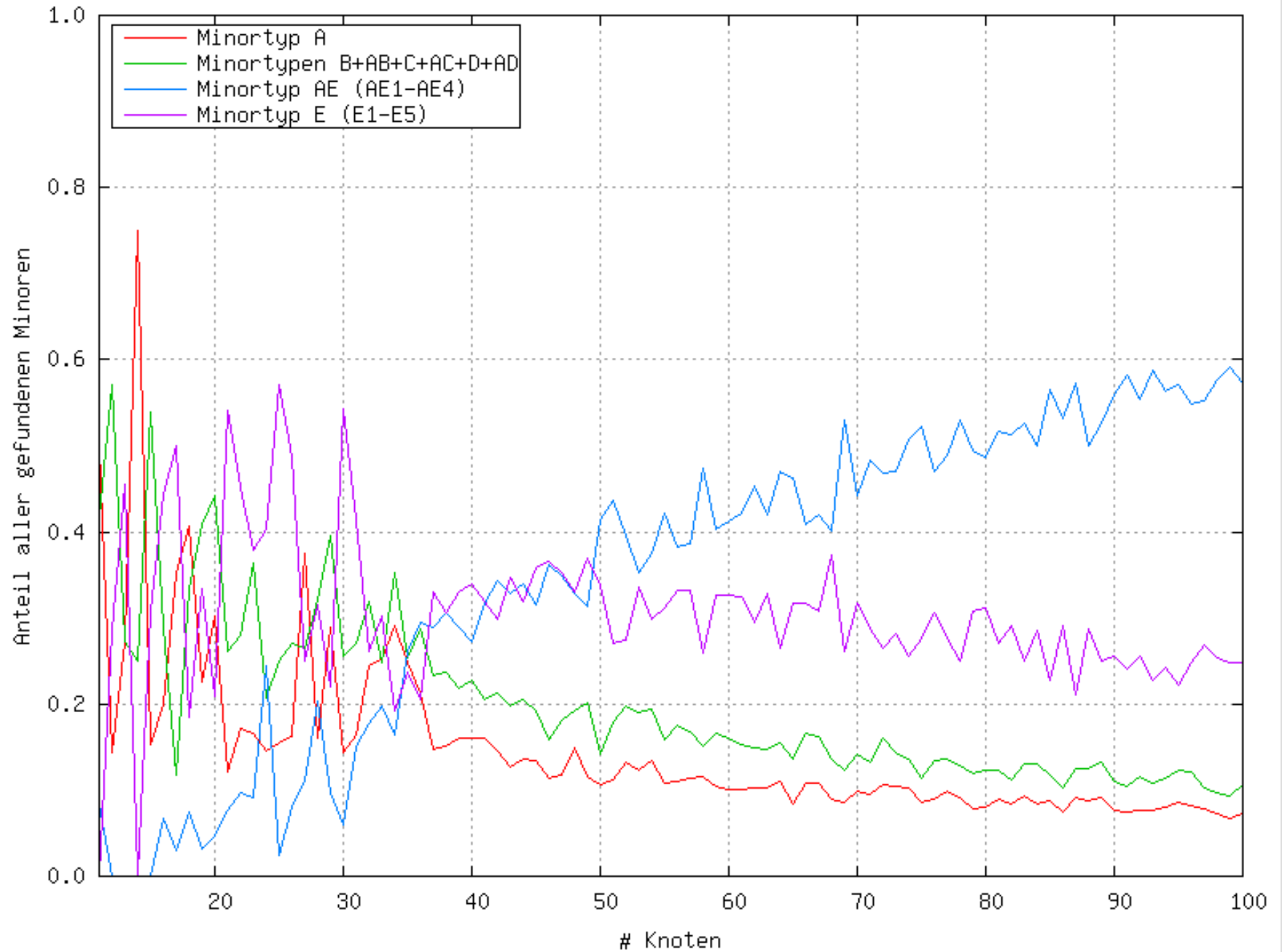
# Rome Library – Laufzeit Bundles



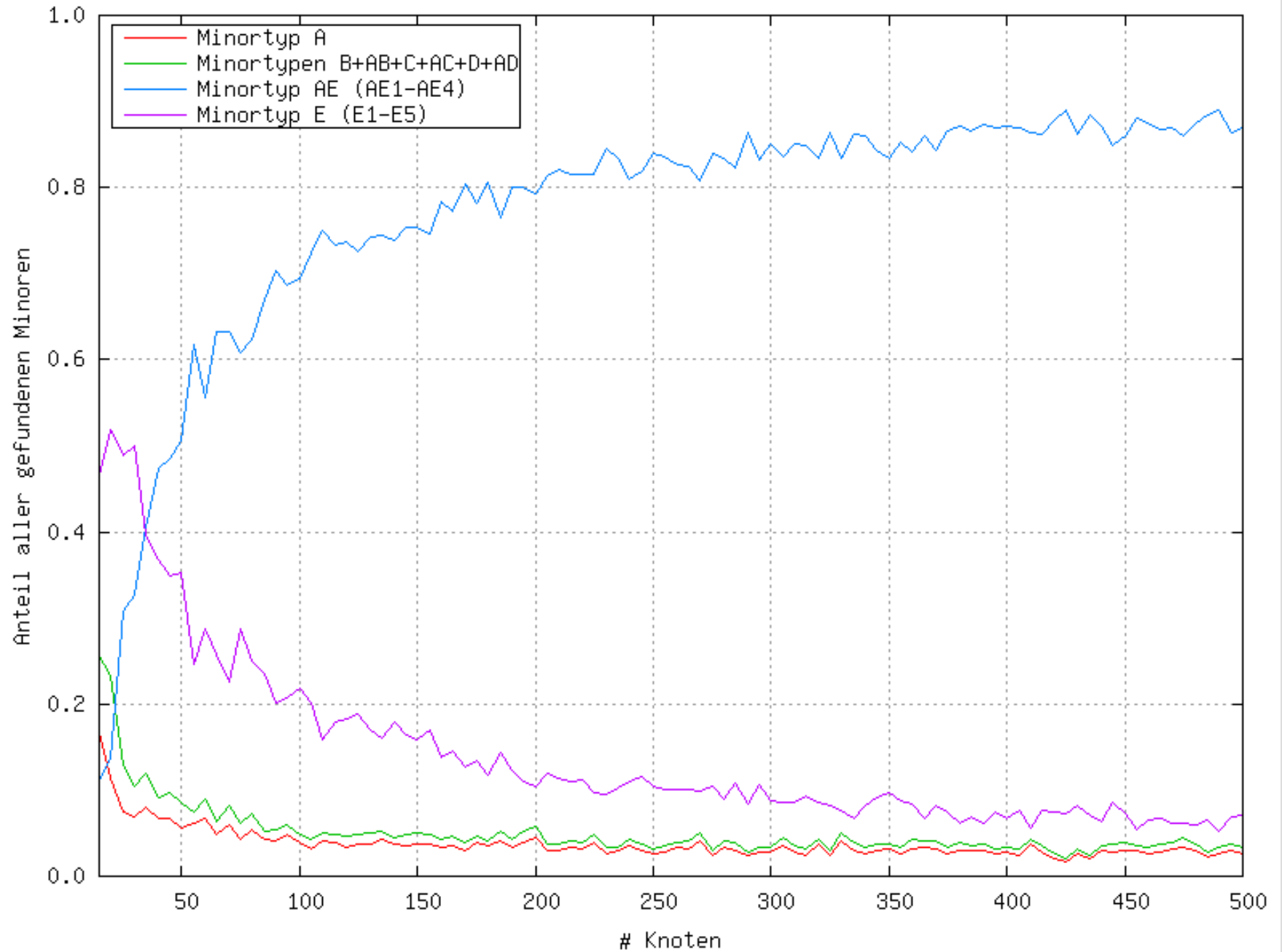
# Rome Library – #Subdivisions



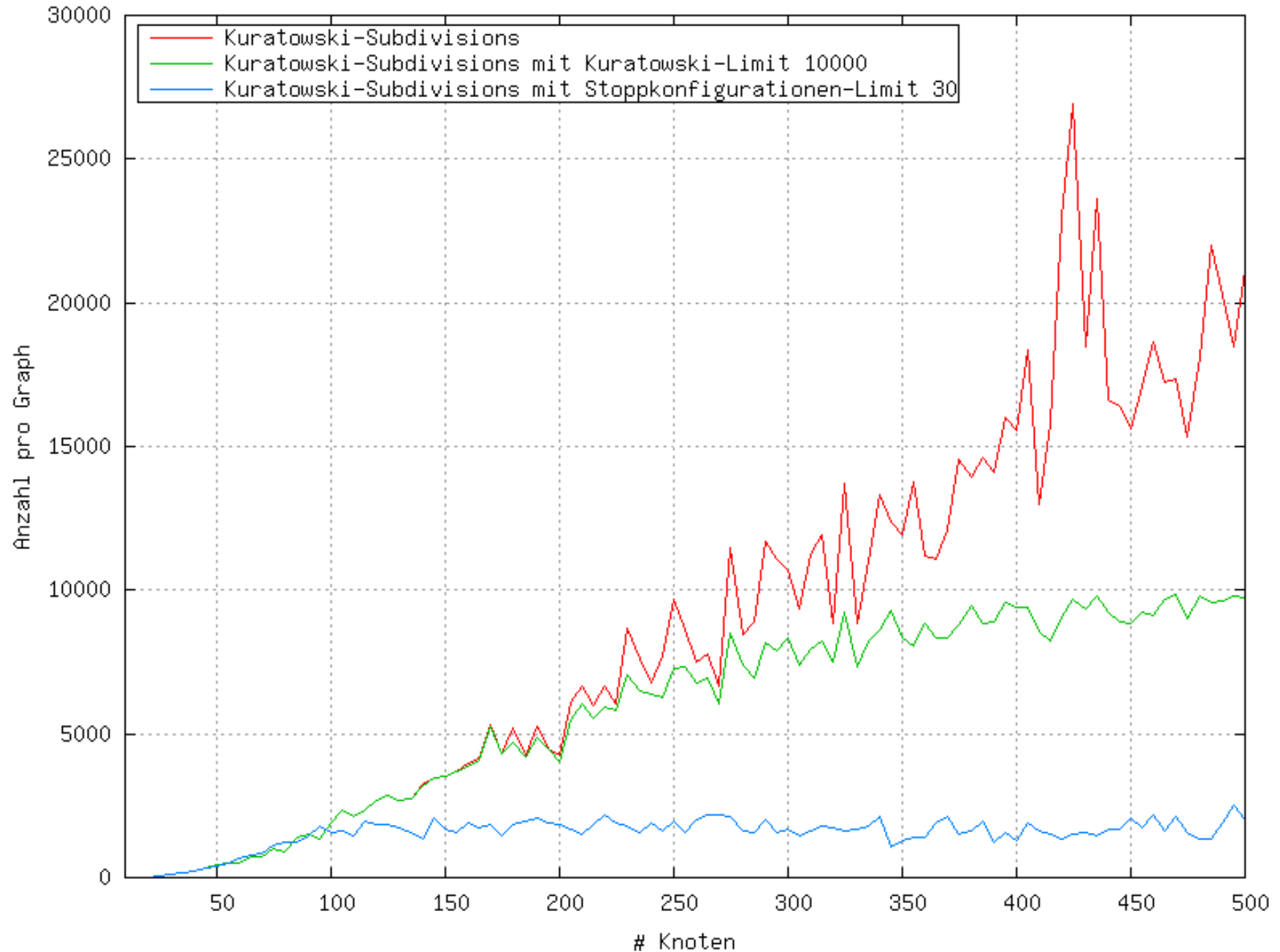
# Rome Library – Subdivisions



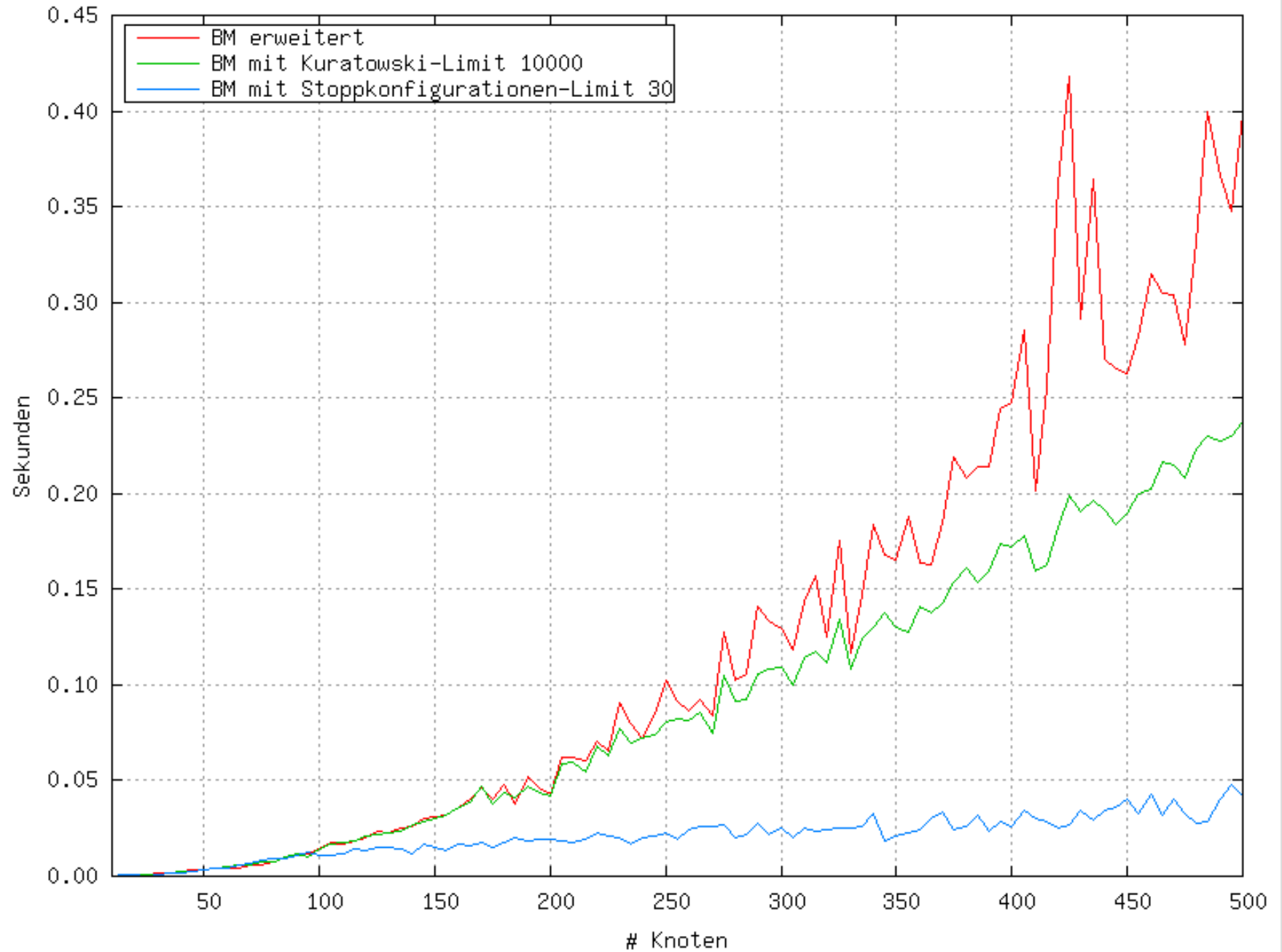
# Zufallsgraphen – Subdivisions



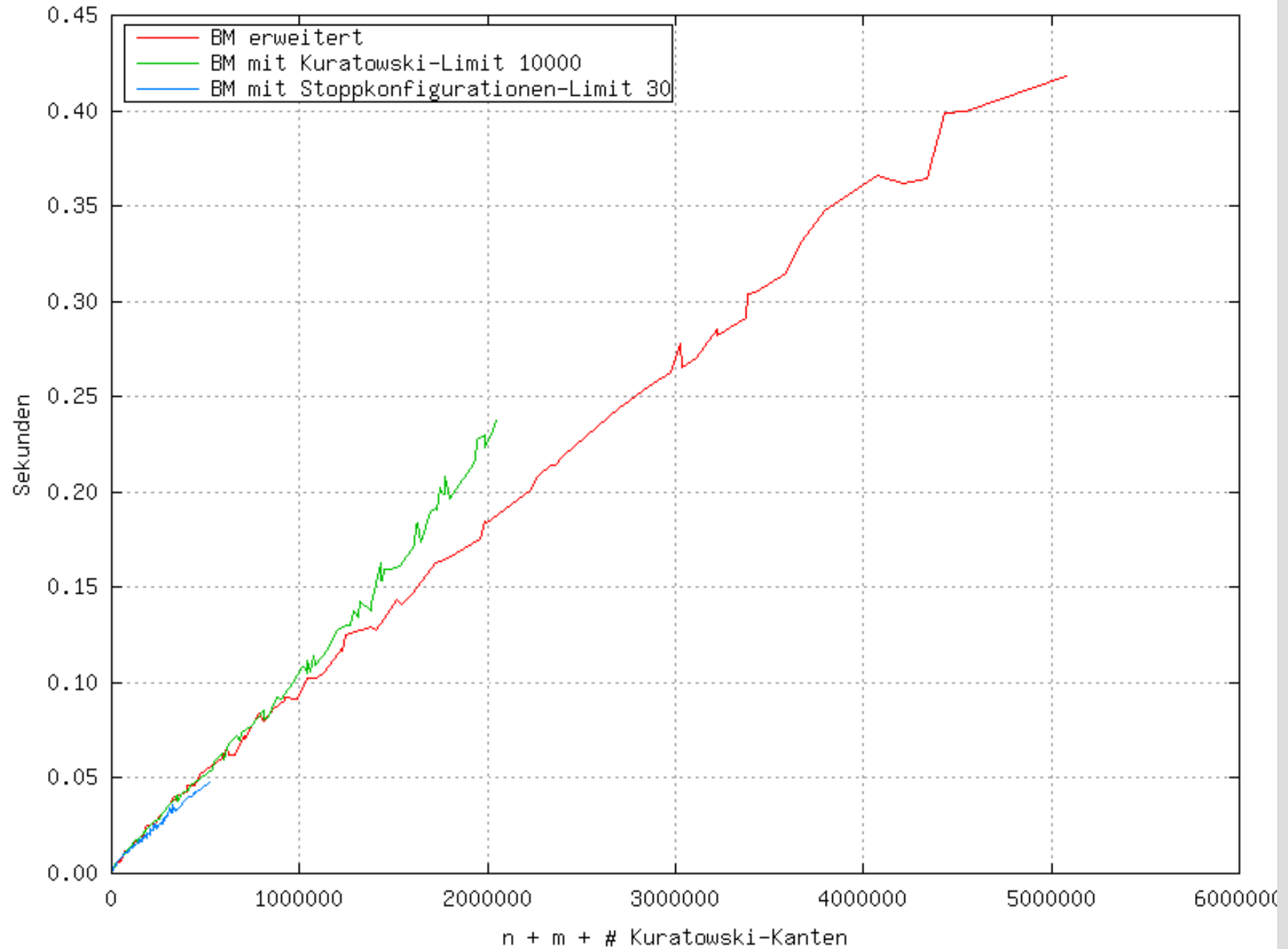
# Zufallsgraphen – #Subdivisions



# Zufallsgraphen – Laufzeiten



# Zufallsgraphen – Laufzeit



# Literatur

John M. Boyer, Wendy Myrvold:

**On the Cutting Edge: Simplified  $O(n)$  planarity by edge addition**

JGAA, 8(3) pp. 241-273, 2004

Battista, Boyer, Cortese, Patrignani:

**Stop Minding Your P's and Q's: Implementing a Fast and Simple DFS-based Planarity Testing and Embedding Algorithm.**

Technical Report RT-DIA-83-2003, 2003

Frank Harary:

**Graph Theory**

Addison Wesley Publishing, 1996, 6<sup>th</sup> printing

Reinhard Diestel:

**Graph Theory (3<sup>rd</sup> electronic Edition, auch in Deutsch verfügbar)**

<http://www.math.uni-hamburg.de/home/diestel/books/graph.theory>

# Literatur



...the end...